

2/76

CMCRCZ 5 (2), 165-220 (1976)

XHMIKA XPONIKA

NEA ΣΕΙΡΑ

CHIMIKA CHRONIKA

NEW SERIES

**AN INTERNATIONAL EDITION
OF THE GREEK CHEMISTS ASSOCIATION**

CHIMIKA CHRONIKA / NEW SERIES

Published by the Greek Chemists' Association
27, Kanningos Street, Athens (147), Greece

Βιβλιοθήκη
Αναστασίου Σ. Κέντρα
(1897-1992)

MANAGING COMMITTEE

Elected members

VASILIOS M. KAPOULAS
THEMISTOKLES COURCOULAS
GEORGE MAKRIS
ALEXIS STASSINOPoulos
STELIOS HADJIYANNAKOS

Ex-officio members

THEODORE ARGIRIOU
General Secretary of the G. C. Association
ARIS KALLIPOLITES
Treasurer of the G. C. Association

EDITOR - IN - CHIEF

V.M. KAPOULAS
Biochemistry, University of Athens

ASSISTANT EDITOR

C.A. DEMOPOULOS
Biochemistry, University of Athens

CONTRIBUTING EDITORS

TH. HADJIOANNOU
Analytical Chemistry, University of Athens
D. KATAKIS
Inorganic Chemistry, University of Athens
C.N. POLYDOROPOULOS
Physical / Quantum Chemistry, Univ. Ioannina
K. SANDRIS
Organic Chemistry, Tech. Univ. Athens
G.A. VARVOGLIS
Organic Chemistry, Athens

EDITORIAL ADVISORY BOARD

N. ALEXANDROU
Organic Chemistry, University of Salónica
G.D. COUMOULOS
Physical Chemistry, Athens
I. DILARIS - PAPADIMITRIOU
Organic Chemistry, University of Athens
N.A. ECONOMOU
Physics, University of Salónica
T. FOTAKIS
Organic Chemistry, CHROPI, Piraeus

S. FILIANOS

Pharmacognosy, University of Athens
D.S. GALANOS
Food Chemistry, University of Athens
A.G. GALINOS
Inorganic Chemistry, University of Patras
P. GEORGACOPOULOS
Pharmaceutical Technology, Univ. of Salónica
N. HADJICHRISTIDIS
Polymer Chemistry, University of Athens
E. HADJOUDIS
Photochemistry, C.N.R. "Democritos"
E. KAMPOURIS
Polymer Chemistry, Tech. Univ. Athens
M. I. KARAYANNIS
Analytical Chemistry, University of Athens
TH. G. KOUYOYMZELIS
Nuclear Physics, Tech. Univ. Athens
G. MANOUSSAKIS
Inorganic Chemistry, University of Salónica
I. MARANGOSIS
Chemical Mechanics, Tech. Univ. Athens
I. NIKOKAVOURAS
Photochemistry, C.N.R. "Democritos"
G. PAPAGEORGIOU
Biophysics, C.N.R. "Democritos"
G. SKALOS
Microanalysis, Tech. Univ. Athens
A. STAVROPOULOS
Industrial Technology, G.S.I.S., Piraeus
I. M. TSANGARIS
Biophysical Chemistry, Athens
G. TSATSARONIS
Food Chemistry / Technology, Univ. Salónica
G. VALCANAS
Organic Chemistry, Tech. Univ. Athens.
G.S. VASILIKIOTIS
Analytical Chemistry, Univ. Salónica
E.K. VOUDOURIS
Food Technology, University of Athens
I. VOURVIDOU-FOTAKI
Organic Chemistry, University of Athens
I. V. YANNAS
Mechanical Engineering, M. I. T., USA.

Correspondence, submission of papers, subscriptions, renewals and changes of address should be sent to Chimika Chronika, New Series, 27 Kanings street, Athens 147, Greece. Subscriptions are taken by volume at 300 drachmas for members and 500 drachmas for Corporations in Greece and 15 U.S. dollars to all other countries except Cyprus, where subscriptions are made on request. Printed in Greece by Boukouris' Grafics.

Ύπερθυνος συμφάνως των νόμων: Βασιλ. Καπούλας, Παπαδιαμάντη 25, Παλ. Ψυχικό, Αθήνα.
Ύπερθυνος Τυπογραφείου: Α. Μπούκουρης, Ποταμού και Αύγης (17^ο χλμ. Εθν. Οδού Αθηνών - Λαμίας), Νέα Κηφισιά.

CONTENTS

Contribution to the study of certain moleculars interactions in binary systems N, N-dimethyl formamide-water, as well as in ternary systems dimethyl sulfoxide-N, N-dimethyl formamide-water (<i>in French</i>) by D. Jannakoudakis, G. Papanastasiou and P.G. Mavridis.....	167
Mass spectra of steroidal lactam and lactone esters of N, N-bis (2-Chloroethyl) amino phenyl acetic acid (<i>in English</i>) by B. Papadopoulos and P. Catsoulacos.....	183
Isomer enumeration in the arenes. IV. Tabulations for systems containing seven benzene rings (<i>in English</i>) by D.H. Rouvray.....	191
Determination of lead alkyls in atmospheric air and sea-water by Gas Chromatography (<i>in Greek</i>) by A. Panetsos, S. Kilikidis and I. Psomas	199
Synthesis of certain new substituents of benzhydrylamine (<i>in French</i>) by G. Papaioannou and P. Crita.....	207

CONTRIBUTION À L'ÉTUDE DE QUELQUES INTERACTIONS MOLÉCULAIRES AU SYSTÈME BINAIRE N,N-DIMÉTHYL- FORMAMIDE - EAU, AINSI QU'À CELUI DES MÉLANGES TER- NAIRES DIMÉTHYLSULFOXYDE - N,N-DIMÉTHYLFORMAMIDE - EAU.

D. JANNAKOUDAKIS, G. PAPANASTASIOU et P.G. MAVRIDIS

Laboratoire de Chimie Physique, Faculté des Sciences de L'Université de Thessalonique.

(Reçu le 10 Juillet 1975)

Résumé

Le comportement des systèmes N, N-diméthylformamide (DMF) — eau (H_2O), diméthysulfoxyde (DMSO) — N,N-diméthylformamide (DMF) — eau (H_2O) par voie diélectrique et viscosimétrique a été étudié dans ce travail.

D'après cette étude on a constaté qu'un complexe du type $2\text{DMF} \cdot 5\text{H}_2\text{O}$, dont le moment dipolaire a été trouvé égal à 6,58 Debye, se forme à toutes les températures entre 25°-40°C.

Il a été constaté de même que dans les mélanges ternaires DMSO — DMF — H_2O , où en même temps les complexes $\text{DMSO} \cdot 2\text{H}_2\text{O}$; $2\text{DMF} \cdot 5\text{H}_2\text{O}$ se forment, entre les derniers il n'existe aucune interaction moléculaire.

Enfin, à partir du volume molaire des complexes ci-dessus, en tenant compte de l'espace vide, on a calculé leurs rayons moléculaires, respectivement égaux à 3,02 et 3,96 Å.

Key words: Binary systems, ternary systems, density, viscosity, refractive index, dipole moment.

Introduction

A la suite des nos recherches sur la détermination de l'allure physico-chimique de divers systèmes, binaires¹ ou ternaires,² constitués d'eau et d'un ou deux solvants organiques dont cet ouvrage est composé, on a étudié, d'une part, le comportement du système DMF— H_2O par voie diélectrique et viscosimétrique à de diverses températures (25°, 30°, 35° et 40°C), d'autre part, celui du système ternaire DMSO—DMF— H_2O à la température 25°C.

Le but de cet ouvrage consiste à élucider la formation éventuelle de complexes entre les molécules d'eau et celles du DMF, ainsi qu'à mesurer des paramètres comme la constante diélectrique, l'indice de réfraction, le coefficient de viscosité et la densité.

D'ailleurs, les paramètres ci-dessus sont indispensables à l'application des diverses équations électrochimiques rapportées à l'allure des divers électrolytes dans de différents systèmes de solvants, d'où l'on peut tirer des conclusions en ce qui concerne l'étendue du phénomène de solvatation.

Dans un de nos ouvrages précédents on a étudié le comportement physico-chimique des systèmes ternaires constitués d'eau et de deux solvants organiques (dioxane et méthanol)² où l'un était aprotique apolaire et l'autre protique polaire.

Par contre, dans cet ouvrage, en étendant notre recherche aux systèmes ternaires constitués d'eau et de deux solvants aussi bien aprotiques que polaires, on a étudié le système DMSO-DMF-H₂O, comparativement à celui de DMF-H₂O.

En outre, la détermination, par la même méthode et précision des paramètres rapportés ci-dessus, concernant divers systèmes mixtes, en constitutions dont certains sont souvent utilisés dans de diverses recherches physico-chimiques, constitue une contribution bibliographique remarquable.

A part tout cela, il ne faut pas omettre de souligner que l'étude des propriétés physico-chimiques, aussi bien des solvants organiques purs que de leurs mélanges avec l'eau, ont fait l'objet de nombreux travaux.³⁻¹³

En conséquence, par cet ouvrage on pourrait, peut-être, augmenter les connaissances en ce qui concerne les interactions moléculaires éventuelles soit entre les molécules de deux solvants organiques (ceci peut résulter, s'il en arrive, d'après l'étude du système ternaire examiné), soit entre les molécules de l'eau et de celles de chacun des solvants organiques.

Enfin, dans un mélange ternaire le comportement des complexes formés, s'ils s'en forment, peut être déterminé, indirectement, par les propriétés du mélange considéré.

Partie expérimentale

Les mesures de la constante diélectrique ont été réalisées à l'aide d'un dipolémètre WTW de type DM 01 muni de cellules MFL 3/S, pour l'intervalle de constante diélectrique compris entre 21 et 90.

Un viscosimètre Schott Mainz Jena Glas C2023L de type Ubbelohde a été utilisé pour la mesure du coefficient de viscosité des mélanges.

Les mesures de l'indice de réfraction ont été réalisées à l'aide d'un réfractomètre Bausch et Lomb de type Abbe 56 à prismes thermostatés.

Les mesures de densité des mélanges ont été réalisées à l'aide d'un pycnomètre à capillaire.

Toutes les mesures de densité et de coefficient de viscosité des mélanges ont été effectuées aux températures constantes à l'aide d'un bain thermostatique de Gebrüder Haake K.G. de type Universal Thermostat. Le reste des mesures ont été effectuées à l'aide d'un thermostat à circulation de Gebrüder Haake K.G. de type Ultrathermostat N.B.S.

Le N,N-diméthylformamide utilisé a été un produit Carlo Erba de pureté "puro". Il était utilisé après un séjour sur CaO et après avoir été bidistillé sous vide et sous atmosphère d'azote.

Le diméthylsulfoxyde a été un produit Fluka de pureté "purum". Il a été distillé sous vide et sous atmosphère d'azote après un séjour de 12 heures sous CaO.

Pour la préparation des mélanges, de l'eau bidistillée a été utilisée.

Les teneurs des mélanges sont exprimées en pourcentage du volume des solvants organiques par rapport au volume total du mélange. Par conséquent quand on parle d'un mélange de 5% de DMF en vol., 5% de DMSO en vol., et d'eau, on entend que celui-ci a été préparé par l'introduction des quantités pures

de 5 ml de DMF, de 5 ml de DMSO dans une fiole jaugeée de 100 ml qu'on a ensuite remplie d'eau jusqu'à la jauge.

Evidemment, à cause de la contraction, ce mélange ne contient pas une quantité d'eau égale à 90 ml. Tous les mélanges ont été préparés à température de $25 \pm 0,01^\circ\text{C}$.

Résultats et Discussion

Les compositions des mélanges binaires ou ternaires, que nous avons étudiées, ainsi que les valeurs trouvées de constante diélectrique, d'indice de réfraction, de coefficient de viscosité et de densité, sont rapportées dans les tableaux I, II.

Il est bien connu que dans une solution idéale, se composant de n liquides parfaitement miscibles, la fluidité du système, Φ_{calc} peut être calculée à partir de l'équation,

$$\Phi_{\text{calc.}} = X_1\Phi_1 + X_2\Phi_2 + \dots + X_n\Phi_n \quad (1)$$

où $\Phi_1, \Phi_2, \dots, \Phi_n$, les fluidités des constituants purs et X_1, X_2, \dots, X_n , leurs fractions molaires respectives.

Si $\Phi_{\text{exp.}}$ est la fluidité trouvée expérimentalement, les valeurs de la relation

$$\delta = \frac{\Phi_{\text{calc.}} - \Phi_{\text{exp.}}}{\Phi_{\text{exp.}}} \cdot 100 \quad (2)$$

donneront une mesure des écarts des mélanges par rapport à l'allure idéale, dans les cas où, parmi les liquides, se forment des liens faibles ou des liaisons hydrogène.

D'après les valeurs du tableau I on a calculé le paramètre δ dont la variation en fonction de la fraction molaire de DMF, à toutes les températures étudiées, se donne à figure I.

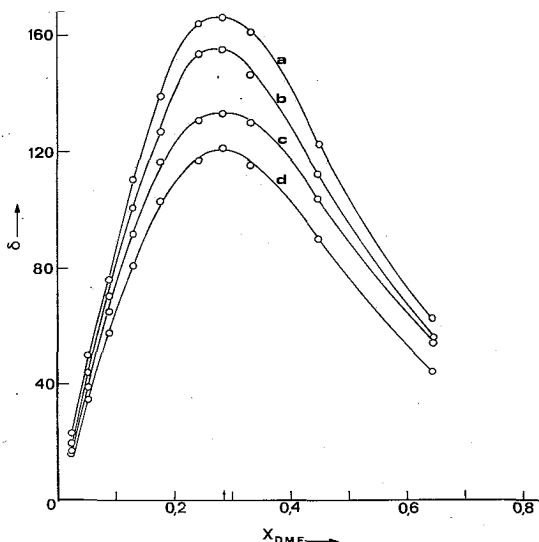


FIG.1. Variation du paramètre δ en fonction de la fraction molaire du DMF à toutes les températures étudiées: a = 25°C , b = 30°C , c = 35°C , d = 40°C .

TABLEAU I: Valeurs de densité, de coefficient de viscosité, de constante diélectrique et d'indice de réfraction des mélanges $DMF-H_2O$ à toutes les températures étudiées ($X =$ fraction molaire).

X _{DMF}	25°C				30°C				35°C				40°C			
	d gr.ml ⁻¹		η (cp)		d gr.ml ⁻¹		η (cp)		d gr.ml ⁻¹		η (cp)		d gr.ml ⁻¹		η (cp)	
	X _{DMF}	η _D	ε	η _D	d	η	ε	η _D	d	η	ε	η _D	d	η	ε	η _D
0	0.0000	0.9971	0.8903	78.54	1.3329	0.9957	0.7975	76.76	1.3323	0.9941	0.7194	75.03	1.3316	0.9922	0.6531	73.35
10	0.0252	0.9957	1.0932	76.92	1.3430	0.9944	0.9513	75.27	1.3420	0.9922	0.8431	73.47	1.3410	0.9900	0.7615	71.51
20	0.0545	0.9959	1.3304	75.09	1.3545	0.9942	1.1455	73.35	1.3535	0.9920	0.9984	71.64	1.3525	0.9890	0.8866	69.91
30	0.0892	0.9962	1.5583	72.38	1.3655	0.9941	1.3513	70.98	1.3645	0.9910	1.1858	69.34	1.3635	0.9880	0.1033	67.62
40	0.1307	0.9966	1.8481	69.45	1.3770	0.9940	1.5941	68.03	1.3755	0.9900	1.3761	66.57	1.3745	0.9860	1.1895	65.01
50	0.1817	0.9960	2.0939	65.88	1.3875	0.9939	1.7940	64.69	1.3865	0.9890	1.5561	63.32	1.3850	0.9850	1.3554	61.78
60	0.2462	0.9939	2.3010	61.87	1.3985	0.9903	2.0008	60.72	1.3970	0.9860	1.6547	59.38	1.3955	0.9820	1.4319	58.02
65	0.2856	0.9920	2.3021	—	—	0.9900	2.0074	—	—	0.9840	1.6698	—	—	0.9790	1.4627	—
70	0.3318	0.9888	2.2464	57.63	1.4080	0.9850	1.9353	56.01	1.4065	0.9800	1.6493	54.79	1.4045	0.9760	1.4231	53.57
80	0.4491	0.9836	1.8923	51.56	1.4165	0.9750	1.6533	50.52	1.4145	0.9710	1.4549	49.44	1.4125	0.9660	1.2642	48.35
90	0.6447	0.9651	1.3577	44.92	1.4230	0.9610	1.2019	44.01	1.4210	0.9560	1.0958	43.08	1.4190	0.9510	0.9630	42.14
100	1.0000	0.9441	0.8050	37.56	1.4270	0.9400	0.7564	36.78	1.4250	0.9360	0.7066	35.90	1.4220	0.9300	0.6767	35.20

TABLEAU II: Valeurs de densité, de coefficient de viscosité, de constante diélectrique et d'indice de réfraction des mélanges ternaires DMSO-DMF-H₂O à t = 25°C (X = fraction molaire).

% en vol.	X		d gr.ml ⁻¹	η (cp)	ε	n_p
DMSO	DMF	DMSO	DMF			
5	5	0,0136	0,0126	1,0038	1,1218	77,29
10	10	0,0295	0,0272	1,0113	1,4020	76,25
15	15	0,0482	0,0444	1,0189	1,7446	74,72
20	20	0,0705	0,0650	1,0270	2,1533	72,80
25	25	0,0979	0,0902	1,0334	2,5766	70,32
30	30	0,1324	0,1220	1,0386	2,9270	67,26
35	35	0,1781	0,1641	1,0404	2,9833	63,40
40	40	0,2423	0,2233	1,0586	2,5926	58,45
45	45	0,3425	0,3156	1,0812	1,8654	51,98

Les écarts observés des mélanges étudiés par rapport à l'allure idéale, exprimés par le paramètre δ , atteignent un maximum. De la figure 1 on voit que ce maximum du δ correspond à une composition, exprimé en fraction molaire de DMF, égale à 0,2856, à toutes les températures étudiées. On peut attribuer ces maximums à la formation d'un complexe du type général $\psi\text{HC}\ddot{\text{O}}(\text{CH}_3)_2 \cdot x\text{H}_2\text{O}$.

En considérant que toute la quantité d'eau est fixée — à la composition du maximum — pour la formation du complexe ci-dessus, à partir de la relation

$$X_{\max.} = \frac{\psi}{\psi+x} = 0,2856 \quad (3)$$

il résulte que les valeurs entières minimales correspondant au ψ , x , sont égales à 2 et 5, par conséquent le complexe considéré est du type $2\text{HC}\ddot{\text{O}}(\text{CH}_3)_2 \cdot 5\text{H}_2\text{O}$.

Afin d'élucider davantage la formation et la composition du complexe ci-dessus on a jugé utile d'étudier un système de mélanges ternaires constitués de DMSO de DMF et de H_2O .

D'après les valeurs du tableau II et à partir des formules (1), (2), dans tous les cas des mélanges ternaires étudiés on a calculé les valeurs du paramètre δ . Ce paramètre peut être considéré comme une fonction univoque de deux variables

$$\delta = f(X_1, X_2) \quad (4)$$

où X_1 , X_2 sont respectivement les fractions molaires du DMSO et du DMF.

Pour représenter graphiquement la fonction ci-dessus, on peut considérer un système des coordonnées rectangulaires, $OX_1X_2\delta$, où les valeurs des fractions molaires du DMSO, du DMF, ainsi que du paramètre δ sont portées respectivement sur les axes X_1 , X_2 et δ .

Dans un tel système, chaque point du plan des abscisses (OX_1X_2), dont la distance de l'origine est égale à

$$u = \sqrt{X_1^2 + X_2^2} \quad (5)$$

représente un mélange térraire de composition égale à X_1 , X_2 , $1-X_1-X_2$ respectivement en fractions molaires de DMSO, de DMF et de H_2O .

Si entre les fractions molaires X_1 , X_2 il existe une relation linéaire

$$X_1 = bX_2 \quad (6)$$

en tenant compte les relations (5), (6), la fonction (4) peut être considérée alors comme une fonction univalente,

$$\delta = \varphi(u), \quad (7)$$

d'une seule variable u .

A la figure (2) on donne la variation $\delta-u$ de tous les mélanges ternaires étudiés.

Le paramètre u a été calculé à partir des valeurs des fractions molaires X_1 et X_2 , rapportées au tableau II.

Dans un de nos travaux précédents, on a montré que dans des mélanges binaires DMSO— H_2O , des complexes du type $\text{DMSO} \cdot 2\text{H}_2\text{O}$ se forment.¹

En conséquence, on peut considérer que les complexes $2\text{DMF} \cdot 5\text{H}_2\text{O}$, $\text{DMSO} \cdot 2\text{H}_2\text{O}$, respectivement formés dans des mélanges binaires DMF— H_2O , DMSO— H_2O , se forment de même dans chaque mélange térraire constitué d'eau, de DMSO et de DMF.

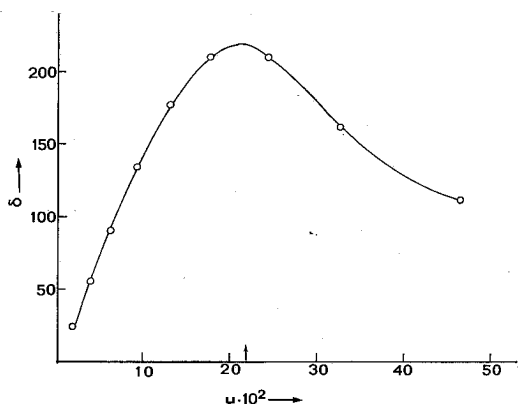


FIG. 2. Variation du paramètre δ en fonction de u , dans le cas des mélanges ternaires étudiés.

D'après cette hypothèse, dans une série de mélanges ternaires DMSO-DMF-H₂O où entre les fractions molaires du DMSO, X_1 et du DMF, X_2 , il existe la relation (6), la composition du mélange où le paramètre δ atteint une valeur maximale, peut se déterminer en résolvant le système des équations

$$\begin{aligned} 2X_1 + \frac{5}{2}X_2 &= X_3 \\ X_1 &= bX_2 \\ X_1 + X_2 + X_3 &= 1 \end{aligned} \tag{8}$$

où X_3 est la fraction molaire d'eau. On suppose même dans ce cas, qu'à la composition du maximum toute la quantité d'eau existante est fixée pour la formation des complexes précités.

Puisq'aux mélanges ternaires étudiés la relation $X_1 = 1,085X_2$ est valable il résulte que la composition du maximum exprimée en fractions molaires est égale à 0,1607 en DMSO, 0,1481 en DMF et 0,6912 en H₂O.

La valeur du paramètre u qui correspond à la composition ci-dessus, en tenant compte de la relation (5), a été calculée égale à 0,2184, valeur qui concide à celle trouvée expérimentalement, comme il résulte du diagramme de la figure (2).

En conséquence, notre hypothèse que les complexes DMSO·2H₂O, 2DMF·5H₂O se forment dans tous les mélanges ternaires étudiés, est renforcée.

L'influence de la température sur le coefficient de la viscosité de tous les mélanges DMF-H₂O a été étudiée à partir de l'équation connue

$$\eta = Ae^{\frac{E_a}{RT}} \tag{9}$$

d'où il résulte

$$\log \Phi = \log \frac{1}{A} - \frac{E_a}{2,303R} \cdot \frac{1}{T} \tag{10}$$

où A est une constante dépendant de la nature du système étudié, E_a la mesure de l'énergie mise en jeu dans le processus d'écoulement élémentaire et Φ , la fluidité.

L'équation (9) a été constatée applicable dans tous les mélanges binaires étudiés, par la variation parfaitement linéaire de $\log\Phi$ en fonction de $1/T$.

Des diagrammes de $\log\Phi - 1/T$ et des pentes des droites correspondantes, on a obtenue les valeurs des paramètres A et E_a qui sont rapportées au tableau III, en utilisant la méthode des moindres carrés.

L'influence de la température, de tous les mélanges binaires étudiés, sur la constante diélectrique, ϵ , a été étudié à partir de l'équation¹⁴

$$\epsilon = ae^{-bT} \quad (11)$$

où a et b sont des constantes empiriques dépendant de la nature du mélange et T , la température absolue.

Des diagrammes $\log\epsilon - T$ on a trouvé, en utilisant la méthode des moindres carrés, les valeurs des paramètres a et b qui sont également rapportées au tableau III.

Du tableau III on voit que la valeur du paramètre E_a , correspondant au $X_{DMF} = 0,2856$, est égale à 5,73 Kcal/mole. Mais nous avons déjà supposé que, dans cette composition, toute la quantité de l'eau est fixée pour former des complexes du type $2HCON(CH_3)_2 \cdot 5H_2O$.

Par conséquent, la valeur 5,73 Kcal/mole correspond à ce complexe.

Ensuite, on a étudié le comportement diélectrique des mélanges DMF-H₂O par l'application de l'équation d'Onsager, généralisée¹⁵⁻²⁰ aux mélanges de i constituants et améliorée par le "facteur de correlation" g de Kirkwood

$$P = \frac{(\epsilon - n^2)(2\epsilon + n^2)}{\epsilon(n^2 + 2)^2} = \frac{4\pi N}{9kT} \sum_i N_i g_i \mu_i^2 \quad (12)$$

où N le nombre d'Avogadro, N_i le nombre de moles de l'espèce i par unité de volume, μ_i le moment dipolaire de l'espèce i , g_i , le "facteur de correlation" de l'espèce i , dans un milieu de constante diélectrique ϵ et d'indice de réfraction n à la température absolue T .

Cette équation comparée à celle de Debye-Clausius-Mossoti a l'avantage d'être applicable dans toute la gamme des concentrations.²² Le paramètre P , que divers chercheurs appellent "polarisation du milieu", peut être calculé directement par la formule (12) à partir des valeurs expérimentales de ϵ et n .

Le facteur de correlation, g , introduit en premier lieu par Kirkwood, peut être défini par la relation²¹

$$g = 1 + z < \cos \gamma_{ij} \quad (13)$$

où z est le nombre moyen des plus proches voisins et γ_{ij} l'angle que forment les directions des deux dipôles voisins i et j . Le facteur g diffère de 1 dans la mesure où des forces directionnelles à courte distance (liaisons hydrogène par exemple) existent entre les molécules.

Pour une substance pure de constante diélectrique ϵ et d'indice de réfraction n , on peut déterminer³ le facteur g à l'aide de l'équation suivante

$$g \frac{4\pi N}{9kT} N \mu^2 = \frac{(\epsilon - n^2)(2\epsilon + n^2)}{\epsilon(n^2 + 2)^2} \quad (14)$$

supposé que le moment dipolaire de la substance considérée est connu.

Par contre à partir de l'équation (14) on peut calculer le moment dipolaire μ , le facteur g étant connu.

TABLEAU III: Valeurs des paramètres A et E_a , trouvées à partir de l'équation (9) ainsi que des paramètres a et b de l'équation (11) dans tous les cas des mélanges binaires, DMF- H_2O , étudiés.

% en vol. de DMF	X_{DMF}	$A \cdot 10^6$	E_a Kcal · mole ⁻¹	a	$b \cdot 10^3$
0	0,0000	13,8357	3,83	—	—
10	0,0252	5,6728	4,48	327,99	4,8594
20	0,0545	2,7164	5,03	310,92	4,7645
30	0,0892	3,0648	5,06	281,52	4,5504
40	0,1307	1,8720	5,45	257,84	4,3970
50	0,1817	1,8382	5,54	236,59	4,2828
60	0,2462	1,1038	5,89	223,13	4,2980
65	0,2856	1,4565	5,73	—	—
70	0,3318	1,5689	5,67	242,68	4,8281
80	0,4491	4,3641	4,96	185,15	4,2860
90	0,6447	12,0149	4,17	159,62	4,2515
100	1,0000	200,2627	2,19	138,44	4,3749

TABLEAU IV: Valeurs du moment dipolaire du complexe 2DMF·5H₂O, de la polarisation du milieu, du nombre moyen des moles/cm³ du complexe ci-dessus, ainsi que du paramètre $A = 4\pi N/9kT$ à toutes les températures étudiées. $X_{DMF} = 0,2856$.

T°K	$A \cdot 10^{-36}$	$N \cdot 10^3$	P	μ (Debye)
298,16	20,4186	8,395	7,425	6,58
303,16	20,0819	8,378	7,275	6,58
308,16	19,7561	8,327	7,150	6,59
313,16	19,4406	8,287	7,000	6,59

Dans le cas des mélanges de DMF-H₂O et de toutes les compositions et températures étudiées, on a calculé aussi bien les valeurs de P que celles du nombre, N, des moles de DMF par unité de volume. Ensuite d'après les diagrammes P—X_{DMF}, N—X_{DMF} on a évalué les valeurs des paramètres P et N correspondant à la fraction molaire de DMF égale à 0,2856, qui sont rapportées au tableau IV. Puisque dans la composition ci-dessus, toute la quantité d'eau se trouve fixée pour la formation du complexe 2DMF·5H₂O, les valeurs des paramètres P et N, concernées par cette composition, correspondent à ce complexe. Par ces valeurs et à partir de l'équation (14), en supposant que g=1, on a calculé les moments dipolaires du complexe 2DMF·5H₂O, rapportés au tableau IV, à toutes les températures étudiées.

D'après les valeurs du tableau IV il résulte que le moment dipolaire moyen du complexe 2DMF·5H₂O est égal à 6,58 Debye.

Par la même méthode, dans un ouvrage précédent,¹ on a calculé le moment dipolaire du complexe DMSO·2H₂O, trouvé aussi égal à 6,58 Debye.

En évaluant les moments dipolaires des complexes 2DMF·5H₂O, DMSO·2H₂O, on a supposé que le facteur g reste égal à 1. Dans ce cas on peut considérer qu'il n'y a ni association, ni interaction directionnelle²² spécifique parmi les molécules des complexes formés et par conséquent les mouvements de rotation des complexes voisins sont indépendants.²³

Ce point étant acquis, c'est-à-dire si le facteur g pour chacun des deux complexes ci-dessus est égal à 1, en acceptant de plus une tendance minimale d'autoassociation, on s'attendra à un comportement idéal à chaque mélange constitué de ces complexes.

En effet, aux mélanges ternaires étudiés et à la composition, exprimée en fraction molaire égale à 0,1607 en DMSO, 0,1481 en DMF et 0,6912 en H₂O on a supposé que toute la quantité de l'eau est fixée pour former les complexes 2DMF·5H₂O, DMSO·2H₂O. Le paramètre u (relation 5) qui correspond à ce mélange est égal à 0,2184. Dans ce dernier on peut considérer que les complexes ci-dessus sont les seuls constituants du mélange.

La fluidité Φ_{exp} , correspondant à ce mélange, a été trouvée égale à 33,2 rhe d'après le diagramme $\Phi-u$, dans les cas des mélanges ternaires étudiés. Des diagrammes $\Phi-X_{DMSO}$, $\Phi-X_{DMF}$, aux mélanges binaires respectives et en fractions molaires $X_{DMSO} = 0,33$, $X_{DMF} = 0,2856$, on a trouvé les valeurs de Φ qui correspondent aux complexes DMSO·2H₂O, 2DMF·5H₂O, respectivement égales à 30,9 rhe et 43,44 rhe.

Si le mélange ternaire précédent se comporte idéalement, c'est-à-dire s'il n'y a aucun phénomène d'association ou d'autoassociation parmi les molécules complexes, sa fluidité pourrait, peut-être, résulter en appliquant l'équation

$$\Phi_{calc.} = X_1\Phi_1 + X_2\Phi_2 \quad (15)$$

où Φ_1 et Φ_2 sont les fluidités respectives des complexes précités, X_1 , X_2 leurs fractions molaires, trouvées égales à 0,52 et 0,48.

En appliquant la relation (15) au cas du mélange ternaire précité il résulte que sa fluidité calculée est égale à 36,9 rhe, tandis que sa valeur expérimentale a été trouvée égale à 33,2 rhe.

Par conséquent, entre les deux valeurs il y a une déviation à peu près égale à 11%. Cette concordance peut être considérée assez suffisante en se rappelant que dans le même mélange, quand on ne tient pas compte de la formation des complexes ci-dessus, il résulte une déviation entre la valeur de la fluidité calculée et celle trouvée expérimentalement, à peu près égale à 220%.

TABLEAU V: Valeurs de la "Polarisation du milieu" (calculées et trouvées expérimentalement) en comparaison du nombre, N, de moles/cm³ des constituants: DMSO·2H₂O, 2DMF·5H₂O, H₂O à t=25°C (u, le paramètre défini par l'équation 5).

% en vol.		u · 10 ²	N · 10 ⁴ (moles/cm ³)			P	
DMSO	DMF		DMSO·2H ₂ O	2DMF·2H ₂ O	H ₂ O	exp.	calc.
5	5	1,8540	7,0101	6,4576	4,7045	10,5	10,4
10	10	4,0122	14,0202	12,9152	3,8785	10,2	10,0
15	15	6,5552	21,0303	19,3728	3,0530	9,8	9,6
20	20	9,5913	28,0404	25,8304	2,2298	9,3	9,1
25	25	13,3131	35,0506	32,2880	1,3981	8,8	8,7
30	30	17,9997	42,0607	38,7456	0,5593	8,3	8,2
33,2	33,2	21,8536	46,5471	42,8784	0,0075	7,9	7,9

En conséquence, comme on s'y attendait, le mélange précité peut être considéré idéal, fait qui corrobore l'exactitude de nos suppositions.

Ensuite aux mélanges ternaires DMSO-DMF-H₂O, jusqu'à la composition (en fractions molaires) égale à 0,1607 en DMSO, 0,1481 en DMF et 0,6912 en H₂O, on a trouvé la polarisation du milieu, directement à partir des valeurs expérimentales de ϵ et n .

Pour les mêmes mélanges, en tenant compte de la formation des complexes, on a calculé la polarisation, $P_{\text{calc.}}$, à partir de l'équation

$$P_{\text{calc.}} = \frac{4\pi N}{9kT} (N_1\mu_1^2 + N_2\mu_2^2 + N_{\text{H}_2\text{O}} \cdot g_{\text{H}_2\text{O}} \cdot \mu_{\text{H}_2\text{O}}^2) \quad (16)$$

où N_1 , N_2 , $N_{\text{H}_2\text{O}}$ sont les nombres de moles/cm³ des constituants DMSO · 2H₂O, 2DMF · 5H₂O, H₂O; μ_1 , μ_2 , $\mu_{\text{H}_2\text{O}}$, leurs moments dipolaires, respectivement égaux à 6,58¹, 6,58 et 1,85 D²⁴; $g_{\text{H}_2\text{O}}$ est le facteur de correlation de Kirkwood au cas de l'eau, trouvé à partir de l'équation (14) égal à 2,815 à 25°C; les résultats obtenus sont rapportés au tableau V.

Si nos suppositions sont correctes, c'est-à-dire si les complexes DMSO · 2H₂O, 2DMF · 5H₂O, ayant un facteur de correlation à peu près égal à 1, se forment aussi dans chaque mélange ternaire constitué d'eau de DMSO et DMF, on attend une concordance suffisante entre les valeurs de "polarisation du milieu", trouvées expérimentalement d'une part et calculées à partir de l'équation (16) d'autre part.

A partir des valeurs du tableau V il résulte qu'il existe une concordance suffisante entre les valeurs (calculées et trouvées expérimentalement) dans tous les mélanges examinés. Au mélange surtout, que l'on peut considérer avec une grande approximation — comme n'étant constitué que de complexe DMSO · 2H₂O et 2DMF · 5H₂O, il existe une coïncidence entre les deux valeurs, mais il n'en arrive pas de même quand on néglige les suppositions précitées où des déviations importantes apparaissent entre les deux valeurs.

Ensuite en revenant au système binaire DMF-H₂O, dans le mélange de composition 0,2856 en fraction molaire de DMF, comme il a été déjà montré, toute la quantité de l'eau est fixée afin de former le complexe du type 2DMF · 5H₂O, qui d'ailleurs est le seul constituant du mélange. Par conséquent la densité du mélange précité correspond au complexe ci-dessus. Donc le volume molaire,

$$V_M = \frac{M}{d} \quad (17)$$

correspondant au complexe ci-dessus dont la masse molaire est égale à 236,275, est égal à 238,2 ml ($d = 0,9920$ gr/ml).

Tenant compte que ce volume correspond à $6,023 \cdot 10^{23}$ molécules complexes, il résulte que le volume d'une telle molécule est égal à $3,95 \cdot 10^{-22}$ ml, tandis que son rayon calculé à partir de l'équation

$$R = \sqrt[3]{\frac{3}{4} \frac{V_M}{Nt}} \quad (18)$$

est égal à 4,55 Å.

Ensuite, de cette manière, en utilisant les résultats expérimentaux du système DMSO-H₂O, on a calculé le volume moléculaire du complexe DMSO · 2H₂O égal à $1,74 \cdot 10^{-22}$ cm³, ainsi que son rayon moléculaire égal à 3,46 Å.

En évaluant les rayons ci-dessus on a supposé, d'une part, que les molécules constituantes ont une forme sphérique et d'autre part, que la masse est traitée comme un milieu continu, comme évidemment il résulte du fait qu'afin d'obtenir le volume moléculaire on a divisé le volume molaire par N .

Il s'agit, de deux suppositions à peu près contradictoires.

Dans ce procédé on n'a pas tenu compte du volume vide, qui il existe en effet parmi les molécules considérées comme sphériques.

Par conséquent, les rayons et les volumes moléculaires où l'espace vide a été compensé, étant plus grands que les réels, expriment les grandeurs respectives apparentes.

Afin d'éviter cette inconséquence on a supposé que chaque molécule est entourée de n molécules semblables (figure 3) trouvées en contact.

Si le rayon moléculaire réel est égal à R , le volume vide du plus proche voisin à chaque molécule est exprimé par la relation (v. Annexe).

$$V_v = \frac{4}{3} \pi (3R^2)^{3/2} - \frac{4}{3} \pi R^3 - 12 \cdot 0,7533 R^3 = 8,54 R^3 \quad (19)$$

Le volume vide qui correspond à chaque molécule, compte tenu chaque élément de volume vide est entouré de 4 molécules, est égal à

$$V_{v.m} = \frac{8,54 R^3}{4} = 2,14 R^3 \quad (20)$$

Par conséquent, le rayon réel d'une molécule dont le volume moléculaire apparent est V_a peut être calculé à partir de l'équation

$$\frac{4}{3} \pi R^3 + 2,14 R^3 = V_a \quad \text{où } 6,33 R^3 = V_a \quad (21)$$

En conséquence, dans le cas du complexe $2\text{DMF} \cdot 5\text{H}_2\text{O}$ dont le volume moléculaire apparent est égal à $3,95 \cdot 10^{-22} \text{cm}^3$, il résulte que le rayon réel correspondant au complexe ci-dessus est égal à $3,96 \text{\AA}$.

De même, du complexe $\text{DMSO} \cdot 2\text{H}_2\text{O}$ où $V_a = 1,74 \cdot 10^{-22} \text{cm}^3$, il résulte que son rayon réel est égal à $3,02 \text{\AA}$.

D'après tout cela on voit que les valeurs ci-dessus, obtenus de cette manière, sont remarquablement inférieures aux rayons apparents.

En tout cas, les valeurs ci-dessus considérées comme plus représentatives que les autres, expriment, en quelque sorte, le rayon de l'approche des molécules complexes étudiés dans l'état liquide et à $t=25^\circ\text{C}$.

Il serait de plus, à souligner qu'on peut calculer le volume molaire à partir de l'équation (17), seulement quand entre les particules considérées il n'existe aucune interaction à courte distance.^{7,25} Mais comme démontré cette condition est valable.

Annexe

Soit une molécule sphérique I de rayon R qui est entourée de n autres II de rayon r trouvées en contact (figure 3).

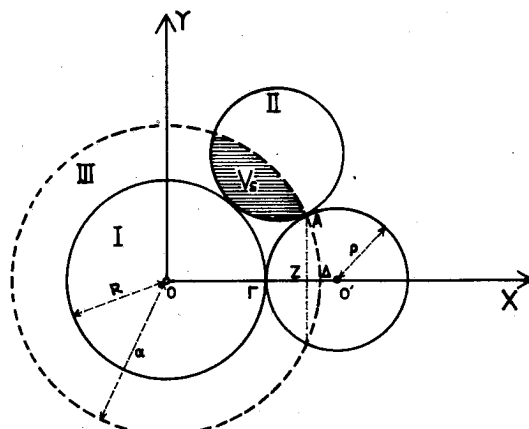


FIG. 3

Afin de calculer le volume vide du plus proche voisin à la molécule I on considère une sphère de rayon α qui passe par tous les points de contact des sphères entourées.

$$\text{Evidemment la relation, } \alpha^2 = R^2 + 2R\varrho \quad (\text{A},1)$$

est valable.

Si le nombre des molécules II est n , le volume vide, le plus proche voisin à la molécule I, peut résulter de la relation

$$V_v = \frac{4}{3} \pi \alpha^3 - \frac{4}{3} \pi R^3 - nV_s \quad (\text{A},2)$$

Par conséquent le problème se réduit à celui de l'évaluation du volume commun V_s , des deux sphères II, III de rayon ϱ et α . De plus, les deux sphères se coupent verticalement.

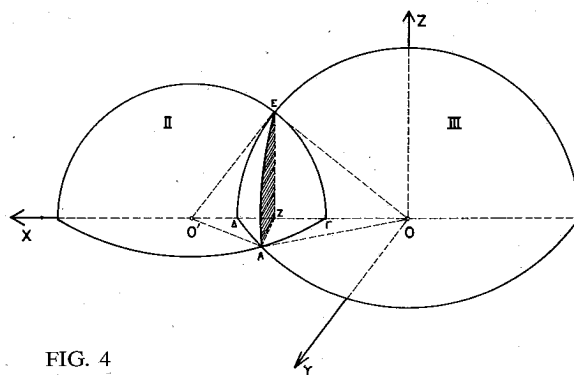


FIG. 4

On considère un système des coordonnées, Oxyz, dont l'origine est le centre de la sphère III (figure 4)

Par rapport au système Oxyz l'équation de la sphère III est:

$$x^2 + y^2 + z^2 = \alpha^2 \quad (A,3)$$

tandis que celle de la sphère II,

$$(x-\beta)^2 + y^2 + z^2 = \varrho^2 \quad (A,4)$$

où β est la distance entre les centres $(0,0')$ des deux sphères.

En considérant le volume commun $A\Gamma\Delta E$, il résulte que le volume total, V_s , peut être calculé par la relation

$$V_s = 4 \iiint_{A\Gamma\Delta E} dx \cdot dy \cdot dz \quad (A,5)$$

En faisant la transformation en coordonnées polaires, selon les relations,

$$\begin{aligned} x &= r \sin \vartheta \cdot \cos \varphi \\ y &= r \sin \vartheta \cdot \sin \varphi \\ z &= r \cos \vartheta \end{aligned} \quad (A,6)$$

la relation (A,5) prend la forme

$$V_s = 4 \iiint_{A\Delta Z E} r^2 \sin \vartheta dr \cdot d\vartheta \cdot d\varphi + 4 \iiint_{A Z \Gamma E} r^2 \sin \vartheta dr \cdot d\vartheta \cdot d\varphi \quad (A,7)$$

En résolvant l'intégral triple (A,7), on obtient:

$$V_s = \frac{4\alpha\varrho}{3\beta} \left[\varrho^2 \arctan \frac{\alpha}{\varrho} + \alpha^2 \arctan \frac{\varrho}{\alpha} \right] - \frac{4\alpha^2 \varrho^2}{6\beta^2} (\varrho + \alpha) - \frac{4\alpha\varrho}{3\beta^3} \left[\varrho^4 \ln \left(\frac{\alpha + \beta - \varrho}{\alpha - \beta + \varrho} \right)^{1/2} + \alpha^4 \ln \left(\frac{\varrho + \beta - \alpha}{\varrho - \beta + \alpha} \right)^{1/2} \right] \quad (A,8)$$

Dans le cas où les deux molécules I, II sont de même rayon R, la relation (A,8) prend la forme simple:

$$V_s = 0,7533R^3 \quad (A,9)$$

Dans ce cas, c'est-à-dire quand les deux molécules I et II sont de la même grandeur la valeur maximale qui prend le nombre n est égale²⁶ à 12, et par conséquent la relation (A,2) prend la forme:

$$V_v = \frac{4}{3}\pi(3R^2)^{3/2} - \frac{4}{3}\pi R^3 \cdot 12 \cdot 0,7533 R^3 = 8,54 R^3 \quad (A,10)$$

La relation (A,10) nous permet de calculer le volume vide du plus proche voisin à chaque molécule.

Abstract

Contribution to the study of certain molecular interactions in binary systems N,N-dimethylformamide — water, as well as in ternary systems dimethylsulfoxide — N,N-dimethylformamide — water.

In this work the dielectric and viscous behavior of the systems N,N-

dimethylformamide (DMF) — water (H_2O) and dimethylsulfoxide (DMSO) — N,N-dimethylformamide (DMF) — water (H_2O) has been studied.

It has been concluded that a complex of the form $2\text{DMF} \cdot 5H_2O$, whose dipole moment has been found to be equal to 6,58 Debye, is formed at all temperatures included between 25° - 40°C .

It has also been concluded that among the complexes of the form $\text{DMSO} \cdot 2H_2O$, $2\text{DMF} \cdot 5H_2O$ which are formed simultaneously in ternary mixtures DMSO — DMF — H_2O no molecular interaction exists.

Finally, from the molecular volumes of the studied complexes $\text{DMSO} \cdot 2H_2O$, $2\text{DMF} \cdot 5H_2O$, taking in account the existing void volume among the particles, their molecular radii has been found to be equal 3,02 and 3,96 Å respectively.

Περίληψις

Συνεισφορά είς τὴν μελέτην μερικῶν μοριακῶν ἀλληλεπιδράσεων είς δυαδικὰ μίγματα N,N-διμεθυλοφορμαμίδου-ύδατος, ὡς καὶ είς τριαδικὰ τοιαῦτα διμεθυλοσουλφοξειδίου — N,N-διμεθυλοφορμαμίδου—ύδατος.

Εἰς τὴν ἐργασίαν αὐτὴν μελετᾶται ἡ φεολογικὴ καὶ ἡ διηλεκτρικὴ συμπεριφορά τῶν συστημάτων N,N-διμεθυλοφορμαμίδου (DMF) — ύδατος (H_2O) καὶ διμεθυλοσουλφοξειδίου (DMSO) — N,N-διμεθυλοφορμαμίδου (DMF) — ύδατος (H_2O).

Διαπιστοῦται ὅτι ἐν σύμπλοκον τοῦ τύπου $2\text{DMF} \cdot 5H_2O$, ἡ διπολικὴ φορτὴ τοῦ δοποίου εὑρέθη ἵση πρὸς 6,58 Debye, σχηματίζεται εἰς ὄλας τὰς θερμοκρασίας τὰς κειμένας μεταξὺ 25°C καὶ 40°C .

Διαπιστοῦται ἐπίσης, ὅτι μεταξὺ τῶν συμπλόκων DMSO · $2H_2O$ — $2\text{DMF} \cdot 5H_2O$, σχηματίζομένων ταυτοχρόνως εἰς τριαδικὰ μίγματα DMSO—DMF— H_2O , οὐδεμία μοριακὴ ἀλληλεπιδρασίς ὑφίσταται.

Τέλος, ἐκ τοῦ μοριακοῦ ὅγκου τῶν συμπλόκων $\text{DMSO} \cdot 2H_2O$, $2\text{DMF} \cdot 5H_2O$, λαμβανομένου ὑπὲρ ὅψιν τοῦ ύφισταμένου κενοῦ χώρου μεταξὺ τῶν μορίων αὐτῶν, ὑπελογίσθησαν αἱ μοριακαὶ αὐτῶν ἀκτῖνες, εὑρεθεῖσαι ἵσαι πρὸς 3,02 καὶ 3,96 Å ἀντιστοίχως.

Bibliographie

1. Jannakoudakis, D., Mavridis, P.G. et Papanastasiou, G.: *Chim.Chron., New Series*, **2**, 139 (1973).
2. Jannakoudakis, D., Papanastasiou, G. et Mountzis, J.: *Chim.Chron., New Series*, **2**, 73 (1973).
3. Bass, S.J., Nathan, W.L., Meighan, R.M. et Cole, R.H.: *J.Phys.Chem.*, **68**, 509 (1964).
4. Vasenko, E.N. et Dubrovskii, S.M.: *Zhur.Fiz.Khim.*, **27**, 281 (1953).
5. Vasenko, E.N. et Blank, M.G.: *Zhur.Fiz.Khim.*, **27**, 522 (1953).
6. Vasenko, E.N. et Dubrovskii, S.M.: *Zhur.Fiz.Khim.*, **27**, 1387 (1953).
7. Assarsson, P. et Eirich, F.P.: *J.Phys.Chem.*, **72**, 2710 (1968).
8. Kittle, R.S.: Du Pont Product Information Bulletin on DMF (1967).
9. Petersen, R.: *J.Phys.Chem.*, **64**, 184 (1960).
10. Worsham, J.E. Jr. et Hobbs, M.E.: *J.Am.Chem.Soc.*, **76**, 206 (1954).
11. Bates, W.W. et Hobbs, M.E.: *J.Am.Chem.Soc.*, **73**, 2151 (1951).
12. Hoover, T.B.: *J.Phys.Chem.*, **73**, 57 (1969).
13. Parker, A.J.: *Quart.Rev.*, **16**, 163 (1962).
14. Åkerlöf, G.: *J.Am.Chem.Soc.*, **54**, 4133 (1932).
15. Barriol, J. et Weisbecker, A.: *C.R.Acad.Sc.Paris*, **259**, 2831 (1964).

16. Barriol, J. et Weisbecker, A.: *J.Chim.Phys.*, **62**, 623 (1965).
17. Weisbecker, A. et Barriol, J.: *J.Chim.Phys.*, **65**, 1369 (1968).
18. Greffe, J.L. et Barriol, J.: *J.Chim.Phys.*, **69**, 1579 (1972).
19. Weisbecker, A. et Rouquie, A.-M.: *J.Chim.Phys.*, **70**, 1059 (1973).
20. Marchal, J.-P., Bonnet, P. et Barriol, J.: *J.Chim.Phys.* **71**, 1285 (1974).
21. Kirkwood, J.G.: *J.Chem.Phys.*, **7**, 911 (1939).
22. Brot, C.: *J.Chim.Phys.*, **61**, 139 (1964).
23. Magat, M.: "Hydrogen Bonding" p. 309, Edit.Prof.dr.Hadzi, Pergamon Press (1959).
24. Schupp, L. et Mecke, R.: *Z.Electrochem.*, **52**, 54 (1948).
25. Pimentel, G.C. et McClellan, A.L.: "The Hydrogen Bond" p.52., W.H.Freeman and Co., London (1960).
26. Wells, A.F., "Models in Structural Inorganic Chemistry" p. 54., Clarendon Press, Oxford (1970).

MASS SPECTRA OF STEROIDAL LACTAM AND LACTONE ESTERS OF N, N-BIS (2-CHLOROETHYL) AMINO PHENYL ACETIC ACID

B. PAPADOPoulos and P. CATSOULACOS

Chemistry Division, Nuclear Research Center "Demokritos" Aghia Paraskevi Attikis, Athens, Greece.

(Received July 27, 1975)

Summary

Mass spectra of 3β -hydroxy-17-oxo- 17α -oxa- 5α -androstan and 3β -hydroxy- 13α -amino- $13,17$ -seco- 5α -androstan- 17 -oic- $13,17$ lactam-p N,N-bis (2-chloro-ethyl) amino phenylacetates.

The fragmentation patterns are explained by known mechanisms.

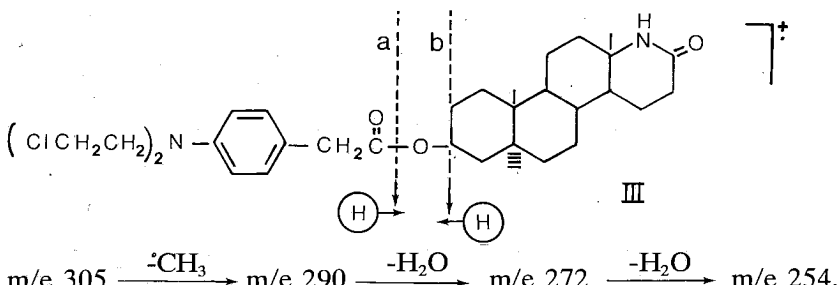
An interpretation of almost all the peaks is offered. Comparable data with the starting materials also are reported.

Introduction

In the course of our work pertaining on the synthesis of modified steroid esters with antitumor properties,¹⁻⁴ it became of interest to study the mass spectra of 3β -hydroxy-17-oxo- 17α -oxa- 5α -androstan and 3β -hydroxy- 13α -amino- $13,17$ -seco- 5α -androstan- 17 -oic- $13,17$ -lactam-p N, N-bis (2-chloro-ethyl) amino phenylacetates. The conclusion of this study, together with the spectra presented, are useful for identification of the metabolites of the reported compounds.*

Lactam ester III (Fig. 3). The mass spectrum of lactam ester shows a relatively low intensity molecular ion (3.3%). The ions m/e 547 ($C_{30}H_{41}N_2O_3Cl_2$, 0.7%), m/e 526 ($C_{31}H_{43}N_2O_3Cl$, 0.7%) and m/e 513 ($C_{30}H_{42}N_2O_3Cl$, 9.9%) arise from the molecular ion M^+ by $\cdot CH_3$, $H^{35}Cl$ and $\cdot CH_2^{35}Cl$ elimination. Moreover the metastable ion m*, m/e 468.27 indicates the formation of ion 513, ($562 \xrightarrow{m^*} 513$) by elimination of the $\cdot CH_2^{35}Cl$ radical from the molecular ion.

The ions m/e 290,272 and 254 due to breakage of IIIa, with hydrogen transfer and loss of $\cdot CH_3$ radical and water respectively from the lactam ion.



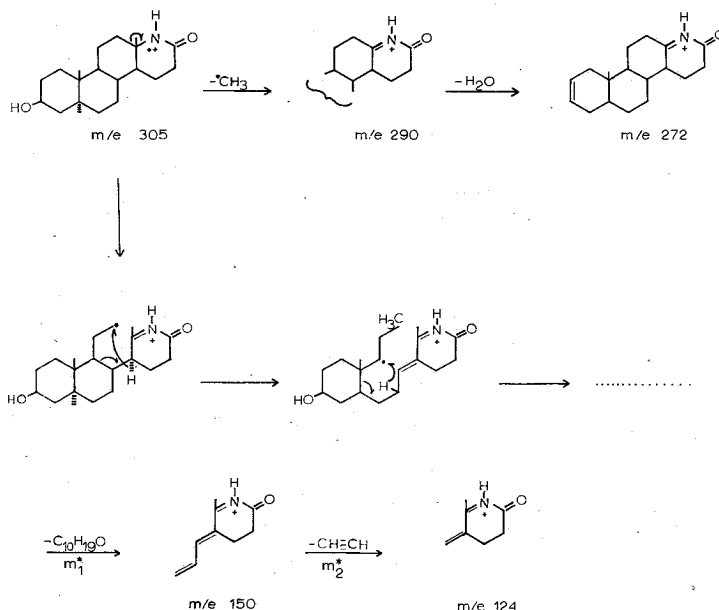
* Work in progress

Breakage of IIIb with hydrogen transfer and loss of $\cdot\text{CH}_2^{35}\text{Cl}$ radical and $[\text{CH}_3\text{CH}_2^{35}\text{Cl}, \cdot\text{CH}_2^{35}\text{Cl}, \text{CO}_2]$ give rise to the formation of the ions m/e 226 and 118.

To confirm the mass spectrum of (III), we record below the major fragmentation of lactam (I) and acid (II).

M^+	m/e	305	1.4%	$\text{C}_{19}\text{H}_{31}\text{NO}_2$
$[\text{M}\cdot\text{CH}_3]^+$	m/e	290	100%	$\text{C}_{18}\text{H}_{28}\text{NO}_2$
$[\text{M}\cdot\text{CH}_3\text{-H}_2\text{O}]^+$	m/e	272	16.5%	$\text{C}_{18}\text{H}_{26}\text{NO}$
$[\text{M-C}_{10}\text{H}_{19}\text{O}]^+$	m/e	150	16.5%	$\text{C}_9\text{H}_{12}\text{NO}$
$[\text{M-C}_{10}\text{H}_{19}\text{O-CH}\equiv\text{CH}]^+$	m/e	124	5.2%	$\text{C}_7\text{H}_{10}\text{NO}$

The peak at m/e 150 reported previously⁵ was produced from M^+ , by the following mechanism:

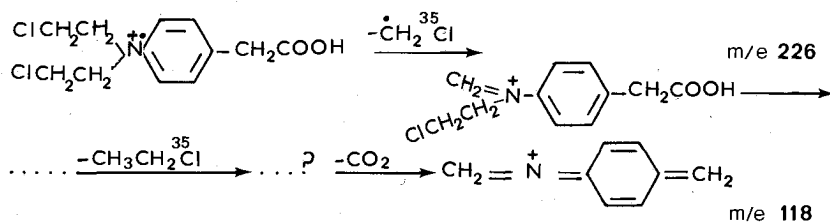


Metastable ion, m_1^* , m/e 73.77 substantiates this process. Similarly the ion m/e 124 produced from m/e 150 supported by the metastable ion m_2^* , m/e 120.51.

Acid II (Fig. 2). The main peaks of the mass spectrum of (II) is recorded below:

M^+	m/e	275	14.5%	$\text{C}_{12}\text{H}_{15}\text{NO}_2\text{Cl}_2$
$[\text{M}\cdot\text{CH}_2^{35}\text{Cl}]^+$	m/e	226	100.0%	$\text{C}_{11}\text{H}_{13}\text{NOCl}$
$[\text{M}\cdot\text{CH}_2^{35}\text{Cl-CH}_3\text{CH}_2^{35}\text{Cl-}\text{CO}_2]^+$	m/e	118	30.4%	$\text{C}_8\text{H}_8\text{N}$

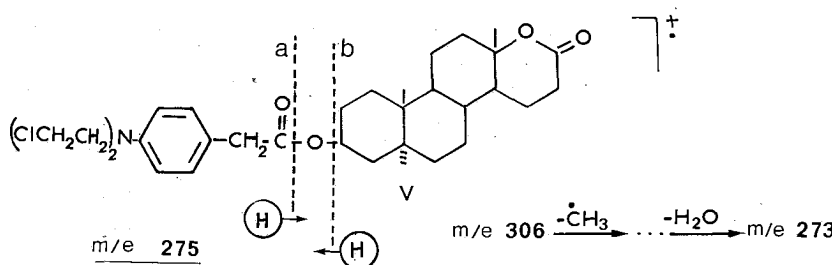
The ions of mass m/e 226 and 118 in II may occur from M^+ as follows:



The metastable ion m^* , m/e 185.73 proves the transition of $m/e 275 \xrightarrow{m^*} 226$.

Lactone ester V (Fig. 5). The molecular ion M^+ , m/e 563 ($\text{C}_{31}\text{H}_{43}\text{NO}_4\text{Cl}_2$) is of high intensity (28.7%). The fragment of mass 561 ($\text{C}_{31}\text{H}_{41}\text{NO}_4\text{Cl}_2$, 38.5%) corresponds to the loss of two hydrogens from M^+ (m/e 563). This can be supported from the metastable ion m_1^* , m/e 559. The ion m/e 512 ($\text{C}_{30}\text{H}_{39}\text{NO}_4\text{Cl}$, 100%) arises from molecular ion by elimination of $\text{CH}_3^{35}\text{Cl}$ and H^+ radical. This was established by recognition of a metastable ion at m/e 467.2.

The ions m/e 476 and 463 arise from m/e 512 by loss of H^{35}Cl and $\cdot\text{CH}_2^{35}\text{Cl}$ respectively.

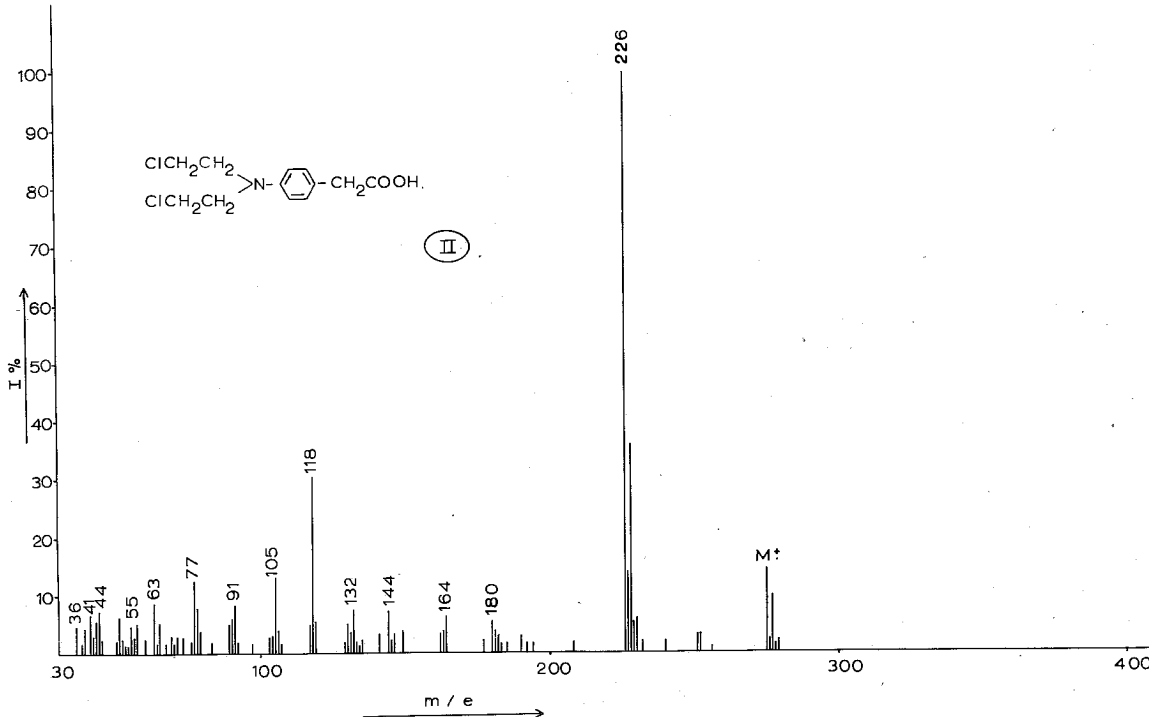
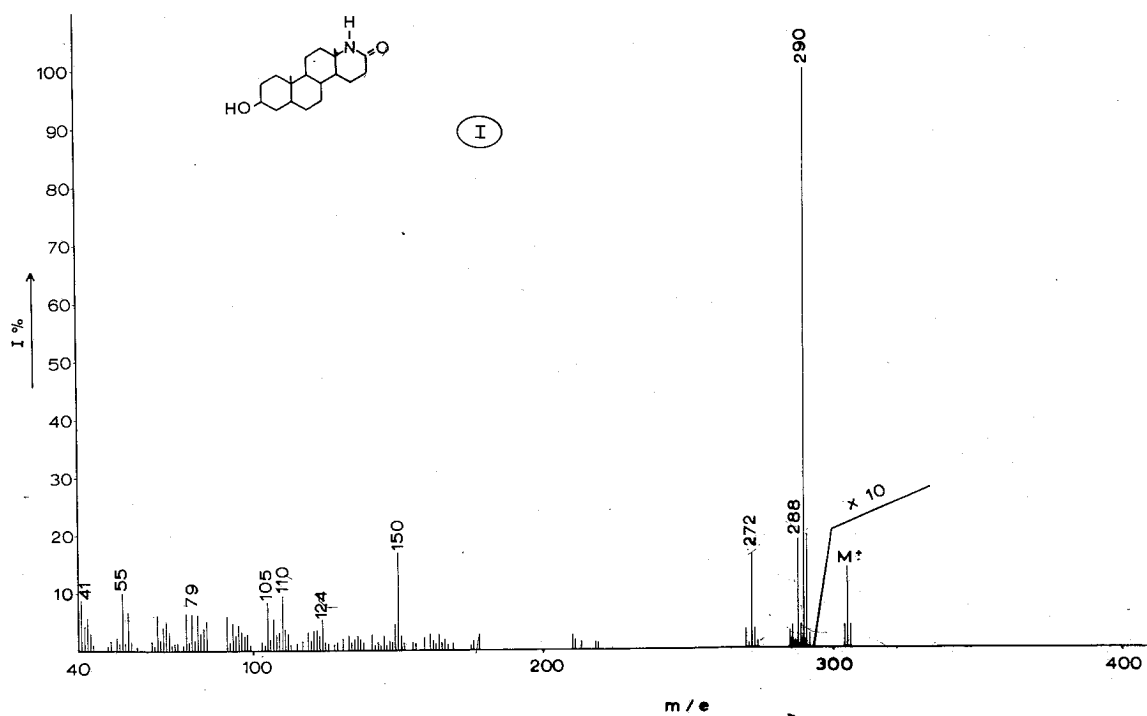


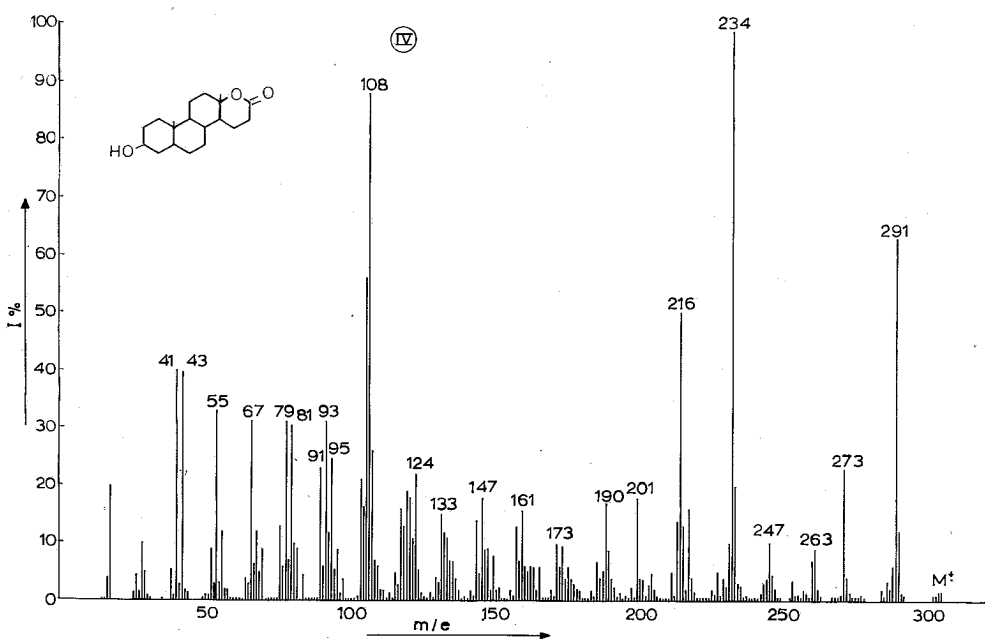
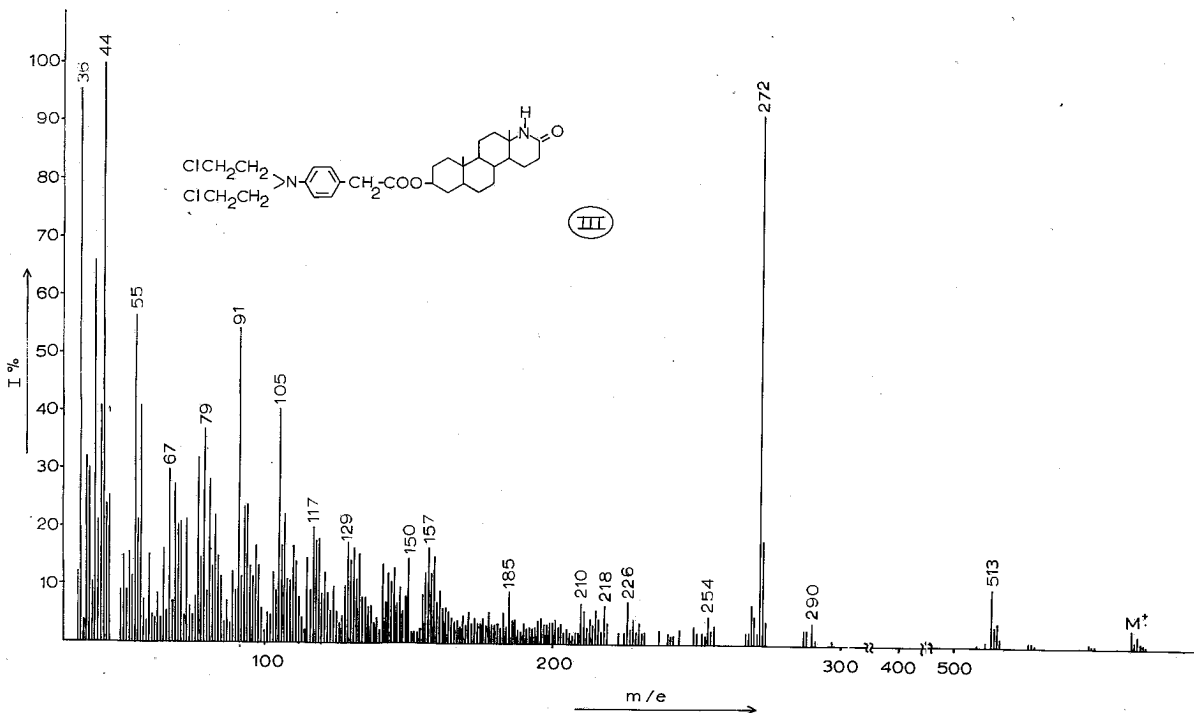
Breakage of Va with hydrogen transfer loss of $\cdot\text{CH}_3$ radical and molecule of water give rise to the formation of ion m/e 273.

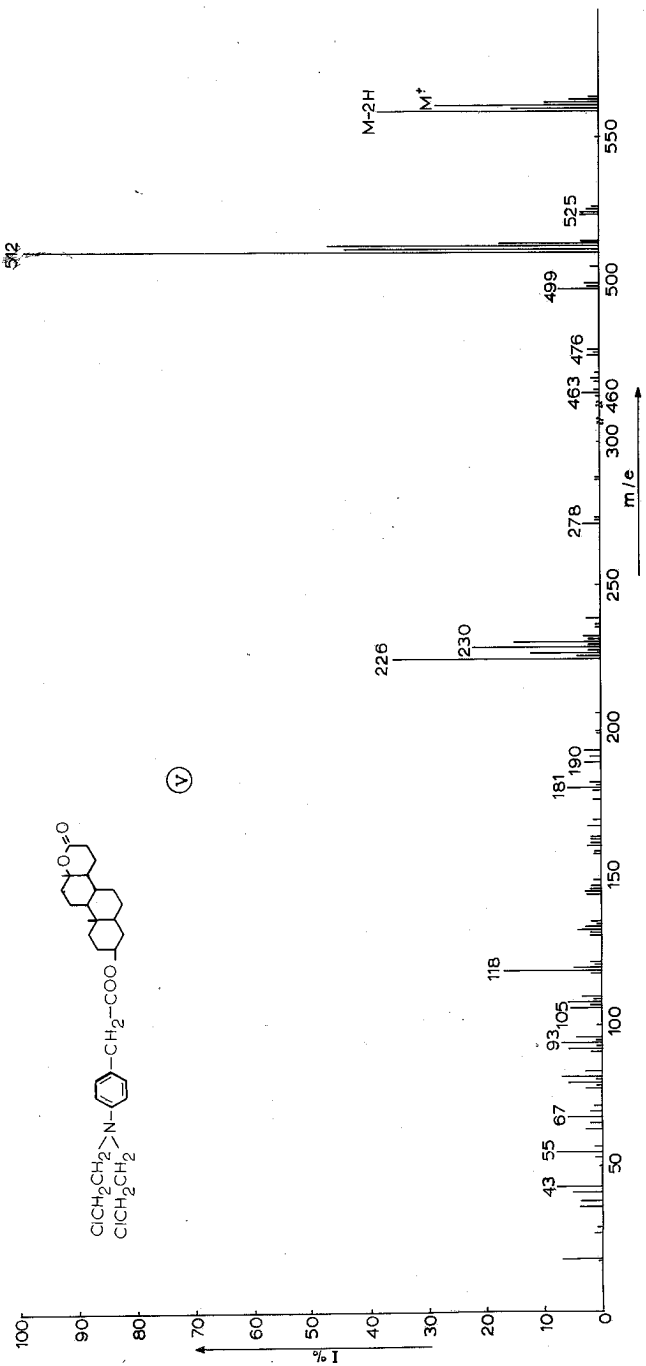
The intensity of the fragment peaks at m/e 226 and 118 results from degradation of (Vb), as discussed above.

Lactone IV (Fig. 4). The major fragmentation of (IV) is recorded below:

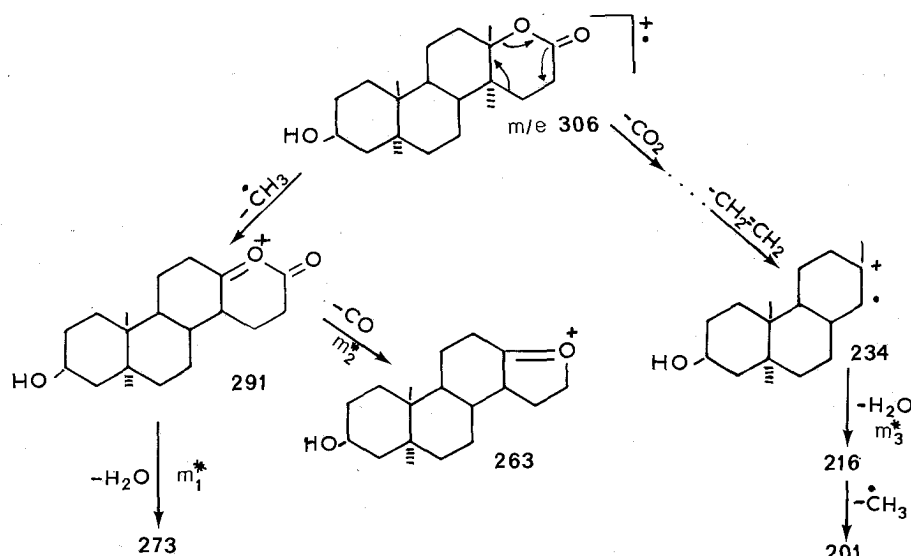
M^+	m/e	306	2.0% $\text{C}_{19}\text{H}_{30}\text{O}_3$
$[\text{M} \cdot \text{CH}_3]^+$	m/e	291	62.7% $\text{C}_{18}\text{H}_{27}\text{O}_3$
$[\text{M} \cdot \text{CH}_3 \cdot \text{H}_2\text{O}]^+$	m/e	273	23.2% $\text{C}_{18}\text{H}_{27}\text{O}_2$
$[\text{M} \cdot \text{CH}_3 \cdot \text{CO}]^+$	m/e	263	9.9% $\text{C}_{17}\text{H}_{27}\text{O}_2$
$[\text{M} \cdot \text{CO}_2 \cdot \text{C}_2\text{H}_4]^+$	m/e	234	100.0% $\text{C}_{16}\text{H}_{26}\text{O}$
$[\text{M} \cdot \text{CO}_2 \cdot \text{C}_2\text{H}_4 \cdot \text{H}_2\text{O}]^+$	m/e	216	51.1% $\text{C}_{16}\text{H}_{24}$
$[\text{M} \cdot \text{CO}_2 \cdot \text{C}_2\text{H}_4 \cdot \text{H}_2\text{O} \cdot \cdot \text{CH}_3]^+$	m/e	201	18.6% $\text{C}_{15}\text{H}_{21}$







The plausible reaction path⁶ for the genesis of the above reported ions is therefore the following:



$$m_1^* = 256.11 \quad m_2^* = 237.69 \quad m_3^* = 199.38$$

Experimental

Mass spectra were obtained at 70eV by direct insertion into the ion source of a Hitachi Perkin-Elmer RMU-6M instrument. The evaporation temperatures of the compounds I, II, III, IV and V were 155°, 110°, 250°, 100° and 175° C.

Acknowledgement.

The authors are grateful to Miss M. Roussou who ran the mass spectra.

Περίληψις

Φασματοσκοπία μάζης τῶν ἐστέρων στεροειδοῦς λακτάμης καὶ λακτόνης τοῦ N,N -δὶς (2-χλωροαιθυλ)αμινο φαινυλοξικοῦ δξέος.

Εἰς τὴν παροῦσαν ἐργασίαν μελετῶνται τὰ φάσματα μαζῶν τῶν ἐστέρων τοῦ 3β -ύδροξυ-17-οξο-17 α -οξα-5 α -ανδροστανίου καὶ τῆς 3β -ύδροξυ-13 α -αμινο-13,17-σεκο-5 α -ανδροσταν-17-οϊκ-13,17 λακτάμης τοῦ π - N,N -δὶς (2-χλωροαιθυλ)αμινο φαινυλοξικοῦ δξέος.

Αἱ θραυσματοποίησεις τῶν μελετουμένων ἐνώσεων ἐπεξηγοῦνται διὰ γνωστῶν μηχανισμῶν. Συγκρίσεις τῶν φασμάτων τῶν ἐστέρων ἔγενοντο καὶ μὲ τὰ φάσματα τῶν πρώτων ύλῶν.

References and Notes

1. Catsoulacos, P. and Boutis, L.: *Chimica Ther.*, 215 (1973)
2. Catsoulacos, P. and Boutis, L.: *Cancer Chem. Reports*, 57, 365 (1973)
3. Catsoulakos, P. and Boutis, L.: *Eur. J. Med. Chem.*, 211 (1974)
4. Catsoulacos, P., Boutis, L. and Dimitropoulos, K.; *Eur. J. Med. Chem.*, 13, 159 (1976)
5. Budzikiewicz, H., Compermolle, F., Van Cauwenbrghe, K., Schulze, K., Wolf, H. and Quinkert, G.: *Tetrahedron*, 24, 6797 (1968).
6. Budzikiewicz, H., Buchler, J. and Quinkert, G.: *Mh. Chem. Bd.*, 98, 1115 (1967).

ISOMER ENUMERATION IN THE ARENES. IV. TABULATIONS FOR SYSTEMS CONTAINING SEVEN BENZENE RINGS

D. H. ROUVRAY

*Chemistry Department, University of the Witwatersrand, Johannesburg, South Africa**

(Received July 28, 1975)

Summary

Cycle indices have been derived for 35 non-radical arene systems containing seven benzene rings. By use of the Enumeration Theorem of Pólya the number of substitutional isomers for each of these systems is given in the form of an appropriate polynomial.

Introduction

In this fourth paper on the enumeration of the substitutional isomers which exist for arene systems, we consider non-radical species containing seven benzene rings, i.e. we have $N = 7$. In the three previous parts of our series,¹⁻³ we considered such systems containing up to six benzene rings. For $N = 7$ it has been established⁴ that there are in all 333 possible systems to consider, though the relative numbers of radical and non-radical species making up this total are not known. Because of the large number of systems existing for $N = 7$, we decided to limit our study to only 35 arene systems in order to keep it down to manageable proportions. The species chosen for study are all illustrated in Fig. 1.

Each molecule in Fig. 1 has been designated by a Roman numeral, following the practice adopted in Part III of our series.³ This practice obviates the difficulty of assigning chemical names to those systems containing seven rings, for which only a mixture of systematic, semi-systematic and non-systematic nomenclature is available at present.

It is of interest to note that for arene systems having $N = 7$ there are several holey animals which appear, as described in Part III for the case of hexahelicene.³ Some of these species containing seven rings have been illustrated by Laarhoven and Brus.⁵ They have not, however, given a representation of the molecule of heptahelicene (dinaphtho [2,1-c.1',2'-g] phenanthrene). This molecule we have included in our study and it is depicted in Fig. 1 as species XXVII. The molecule is unusual in that it is the only species with seven rings for which there is an overlap of benzene rings. It is also interesting for its symmetry properties.

In general, when choosing arene species for study we have been guided by a number of different factors. In the first place, we chose only non-radical species. For deciding which species were non-radicals we utilized the criteria laid down by

* Present address: Max-Plank Institut für Kohlenforschung, 4330 Mülheim/Ruhr, German Federal Republic.

Balaban and Harary.⁶ Secondly, as mentioned above, we selected molecules which appeared to be of interest because of their symmetry properties. Such molecules will have a more complex cycle index than those possessing no symmetry other than that represented by the identity operation. Thus, we have included heptahelicene, which exists in the form of a left-handed helix.⁵

For a long time it was thought that arenes containing as many as seven rings could not display carcinogenic activity because of their large size. It is now realised,⁷ however, that this is not so, and accordingly we include in our study species which are known to be carcinogenic. Thus, we have included the molecules of 1,2,3,4,7,8 — tribenztetracene (XXII), phenanthro [2', 3', 3,4] pyrene (XXIV), and 1,2,4,5,8,9 — tribenzpyrene (XXVI), which are all moderately carcinogenic.^{7,8}

Presentation of Results

As both the calculations performed and the mode of presentation of our results are virtually identical in all respects to those described in Part III of our series,³ the interested reader is referred back to this paper. As mentioned above, Roman numerals have been employed to designate chemical species as before. The Pascal Triangle was again used in the development of polynomials from the cycle indices of species. Also, as in previous papers,¹⁻³ our results are conveniently presented in tabular format.

Table I presents a list of all the polynomials we encountered in our study of arene systems having $N = 7$. Each polynomial has there been designated by a letter of the alphabet. Use of these letters at a later stage obviates the necessity of printing out 35 rather long polynomials.

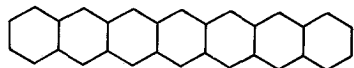
In Table II we give the main results of our investigations. For each of the 35 non-radical arene systems we studied is presented the number of replaceable hydrogen atoms contained in the molecule, the cycle index, and the polynomial giving the number of substitutional isomers for the species. The coefficients yield directly the number of isomers in each case.

Conclusion

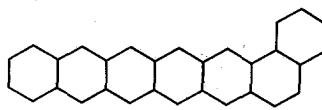
Because of the very large number of arene systems having $N = 7$, we have not been able to investigate more than about 10% of the possible cases we might have enumerated. However, it should be noted that at present many arene systems having $N = 7$ have not been properly characterized or, in some instances, even studied at all by experimentalists. A rich field of new endeavour thus awaits the chemist whose inclinations lie in this particular direction. It is to be hoped that our remarks might stimulate some workers to further efforts in this area.

We may also hope that the species arbitrarily selected by us for our study will prove to be the ones of greatest interest to the chemist at present. Our investigations may well be of interest beyond the confines of purely enumerative studies, as remarked in Part III of our series.³ Thus, we trust that our results may have significance in fields as diverse as studies of the reaction kinetics of arene species, conformational analysis work, and investigations of the carcinogenicity of some arene molecules. A number of other physico-chemical parameters of arene systems might also be influenced by the number of substitutional isomers formed in these species. Our results would thus appear to be of potential interest to a wide spectrum of chemists.

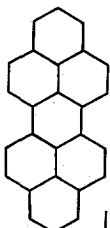
FIG. 1. *The carbon frameworks for each of the 35 non-radical arene systems containing seven rings which are investigated here.*



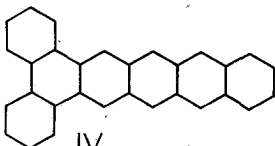
I



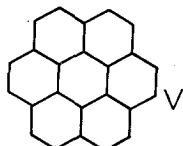
II



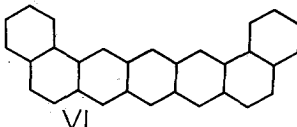
III



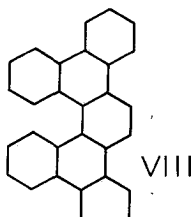
IV



V

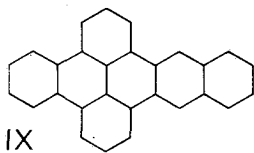


VI

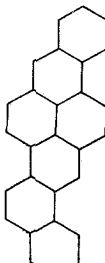


VII

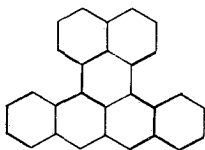
VIII



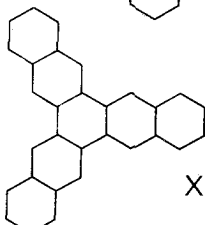
IX



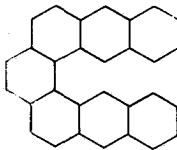
X



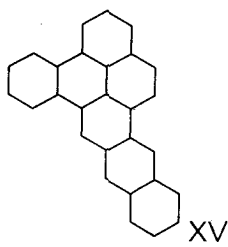
XI



XII

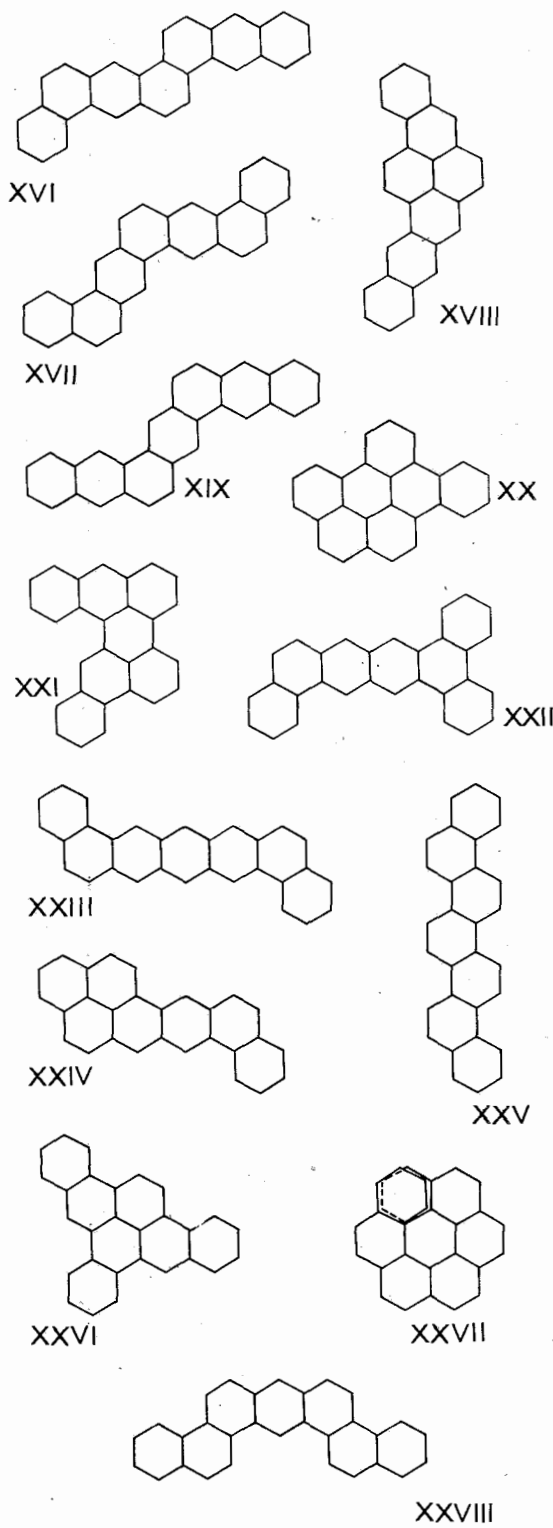


XIII



XIV

XV



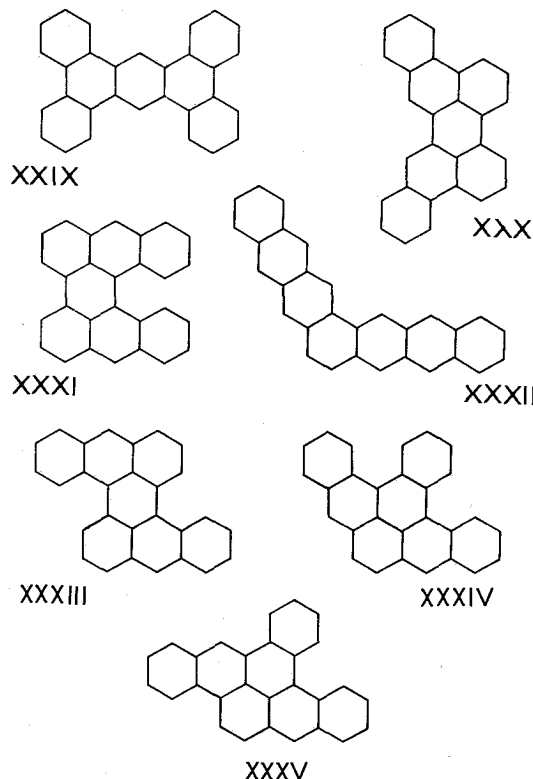


TABLE I. *The alphabetical designation for each of the polynomials determined in our study of arenes having seven benzene rings.*

<i>Designation for polynomial</i>	<i>The calculated polynomial using the Enumeration Theorem</i>
H	$1 + x + 9x^2 + 19x^3 + 50x^4 + 66x^5 + 90x^6 + 66x^7 + 50x^8 + 19x^9 + 9x^{10} + x^{11} + x^{12}$
J	$1 + 14x + 91x^2 + 364x^3 + 1001x^4 + 2002x^5 + 3003x^6 + 3432x^7 + 3003x^8 + 2002x^9 + 1001x^{10} + 364x^{11} + 91x^{12} + 14x^{13} + x^{14}$
K	$1 + 4x + 28x^2 + 94x^3 + 266x^4 + 508x^5 + 777x^6 + 868x^7 + 777x^8 + 508x^9 + 266x^{10} + 94x^{11} + 28x^{12} + 4x^{13} + x^{14}$
L	$1 + 16x + 120x^2 + 560x^3 + 1820x^4 + 4368x^5 + 8008x^6 + 11440x^7 + 12870x^8 + 11440x^9 + 8008x^{10} + 4368x^{11} + 1820x^{12} + 560x^{13} + 120x^{14} + 16x^{15} + x^{16}$
M	$1 + 8x + 64x^2 + 280x^3 + 924x^4 + 2184x^5 + 4032x^6 + 5720x^7 + 6470x^8 + 5720x^9 + 4032x^{10} + 2184x^{11} + 924x^{12} + 280x^{13} + 64x^{14} + 8x^{15} + x^{16}$
P	$1 + 18x + 153x^2 + 816x^3 + 3060x^4 + 8568x^5 + 18564x^6 + 31824x^7 + 43758x^8 + 48620x^9 + 43758x^{10} + 31824x^{11} + 18564x^{12} + 8568x^{13} + 3060x^{14} + 816x^{15} + 153x^{16} + 18x^{17} + x^{18}$

$$\begin{aligned}
 Q & 1 + 10x + 81x^2 + 416x^3 + 1548x^4 + 4312x^5 + 9324x^6 \\
 & + 15968x^7 + 21942x^8 + 24380x^9 + 21942x^{10} + 15968x^{11} \\
 & + 9324x^{12} + 4312x^{13} + 1548x^{14} + 416x^{15} + 81x^{16} \\
 & + 10x^{17} + x^{18} \\
 R & 1 + 9x + 81x^2 + 408x^3 + 1548x^4 + 4284x^5 + 9324x^6 \\
 & + 15912x^7 + 21942x^8 + 24310x^9 + 21942x^{10} + 15912x^{11} \\
 & + 9324x^{12} + 4284x^{13} + 1548x^{14} + 408x^{15} + 81x^{16} \\
 & + 9x^{17} + x^{18} \\
 S & 1 + 5x + 45x^2 + 208x^3 + 792x^4 + 2156x^5 + 4704x^6 \\
 & + 7984x^7 + 11034x^8 + 12190x^9 + 11034x^{10} + 7984x^{11} \\
 & + 4704x^{12} + 2156x^{13} + 792x^{14} + 208x^{15} + 45x^{16} \\
 & + 5x^{17} + x^{18} \\
 T & 1 + 3x + 30x^2 + 138x^3 + 528x^4 + 1428x^5 + 3141x^6 \\
 & + 5304x^7 + 7356x^8 + 8110x^9 + 7356x^{10} + 5304x^{11} \\
 & + 3141x^{12} + 1428x^{13} + 528x^{14} + 138x^{15} + 30x^{16} \\
 & + 3x^{17} + x^{18}
 \end{aligned}$$

TABLE II. The cycle index and the corresponding polynomial giving the number of substitutional isomers for all the 35 arene species studied containing seven benzene rings.

Designation of Species	Replaceable Hydrogen Atoms	Cycle Index	Polynomial for Cycle Index
I	18	$1/4 (f_1^{18} + 2f_2^9 + f_2^8 f_1^2)$	S
II	18	f_1^{18}	P
III	14	$1/4 (f_1^{14} + 2f_2^7 + f_2^6 f_1^2)$	K
IV	18	$1/2 (f_1^{18} + f_2^9)$	R
V	12	$1/12 (f_1^{12} + 7f_2^6 + 2f_3^4 + 2f_6^2)$	H
VI	18	$1/2 (f_1^{18} + f_2^9)$	R
VII	16	f_1^{16}	L
VIII	18	$1/2 (f_1^{18} + f_2^9)$	R
IX	16	$1/2 (f_1^{16} + f_2^8)$	M
X	16	f_1^{16}	L
XI	16	$1/2 (f_1^{16} + f_2^8)$	M
XII	18	$1/6 (f_1^{18} + 3f_2^9 + 2f_6^2)$	T
XIII	18	$1/2 (f_1^{18} + f_2^9)$	R
XIV	16	$1/2 (f_1^{16} + f_2^8)$	M
XV	16	f_1^{16}	L
XVI	18	f_1^{18}	P
XVII	18	$1/2 (f_1^{18} + f_2^9)$	R
XVIII	16	f_1^{16}	L
XIX	18	$1/2 (f_1^{18} + f_2^9)$	R
XX	14	f_1^{14}	J
XXI	16	f_1^{16}	L
XXII	18	f_1^{18}	P
XXIII	18	$1/2 (f_1^{18} + f_2^9)$	R
XXIV	16	f_1^{16}	L
XXV	18	$1/2 (f_1^{18} + f_2^9)$	R
XXVI	16	$1/2 (f_1^{16} + f_2^8)$	M
XXVII	18	$1/2 (f_1^{18} + f_2^9)$	R

TABLE II (continued)

Designation of Species	Replaceable Hydrogen Atoms	Cycle Index	Polynomial for Cycle Index
XXVIII	18	$1/2 (f_1^{18} + f_2^8 f_1^2)$	Q
XXIX	18	$1/4 (f_1^{18} + 2f_2^9 + f_2^8 f_1^2)$	S
XXX	16	$1/2 (f_1^{16} + f_2^8)$	M
XXXI	16	$1/2 (f_1^{16} + f_2^8)$	M
XXXII	18	$1/2 (f_1^{18} + f_2^9)$	R
XXXIII	16	$1/2 (f_1^{16} + f_2^8)$	M
XXXIV	16	$1/2 (f_1^{16} + f_2^8)$	M
XXXV	16	f_1^{16}	L

Περίληψις

Απαρίθμησις τῶν ἰσομερῶν εἰς τὰ ἀρένια. IV. Πίνακες συστημάτων ποὺ περιέχουν ἐπτὰ βενζοϊκοὺς δακτυλίους.

Μελετῶνται, διὰ θεωρητικῆς ἐπεξεργασίας, 35 μὴ οιζικὰ συστήματα ἀρενίων ποὺ περιέχουν ἐπτὰ βενζοϊκοὺς δακτυλίους καὶ ἔξαγονται κυκλικοὶ δεῖκται.

Δι’ ἐφαρμογῆς τοῦ θεωρήματος ἀπαριθμήσεως τοῦ Pólya ἔξαγεται ὁ ἀριθμὸς τῶν ἰσομερῶν ἐξ ἀντικαταστάσεως, δι’ ἔκαστον ἀπὸ τὰ ἀνωτέρω συστήματα ἀρενίων, μὲ τὴν μօρφὴν καταλλήλου πολυωνύμου.

References and Notes

- 1 Rouvray, D.H.: *J.S. African Chem. Inst.*, **26**, 141. (1973).
- 2 Rouvray, D.H.: *J. S. African Chem. Inst.*, **27**, 20 (1974).
- 3 Rouvray, D.H.: *Chim. Chron.*, **4**, 39 (1975).
- 4 Balaban, A.T.: *Tetrahedron*, **25**, 2949 (1969).
- 5 Laarhoven, W.H. and Brus, G.J.M.: *J. Chem. Soc. (B)*, 1433 (1971).
- 6 Balaban A.T. and Harary, F.: *Tetrahedron*, **24**, 2505 (1968).
- 7 Buu-Hoi, N.P.: *Cancer Res.*, **24**, 1511 (1964).
- 8 Daudel P. and Daudel, R.: "Chemical Carcinogenesis and Molecular Biology", p. 19, Interscience, New York, (1966).

ΠΡΟΣΔΙΟΡΙΣΜΟΣ ΤΟΥ ΟΡΓΑΝΙΚΟΥ ΜΟΛΥΒΔΟΥ ΕΙΣ ΤΟΝ ΑΤΜΟ-ΣΦΑΙΡΙΚΟΝ ΑΕΡΑ ΚΑΙ ΕΙΣ ΤΟ ΘΑΛΑΣΣΙΟΝ ΥΔΩΡ ΠΔΙΑ ΤΗΣ ΑΕΡΙΟΥ ΧΡΩΜΑΤΟΓΡΑΦΙΑΣ

Α. Γ. ΠΑΝΕΤΣΟΣ, Σ.Κ. ΚΙΛΚΙΔΗΣ και Ι. Ε. ΨΩΜΑΣ
Έργαστήριον Ύγιεινής Τροφίμων ζωικής προσελεύσεως, Κτηνιατρικής Σχολῆς του Αριστοτελείου
Παν/μίου Θεοφαλονίκης
(Ελήφθη την 12 Αυγούστου 1975)

Περίληψις

Περιγράφεται άπλη και γρήγορη μέθοδος προσδιορισμοῦ τῶν τετρααλκυλο-
(μεθύλ-αιθυλ-) παραγώγων τοῦ μολύβδου ἐκ τοῦ ἀτμοσφαιρικοῦ ἀέρος καὶ τοῦ
θαλασσίου ὄντος, διὰ τῆς ἀερίου χρωματογραφίας. Τὰ ἀλκυλοπαράγωγα τοῦ μολύ-
βδου παραλαμβάνονται πρὸ τῆς χρωματογραφήσεως ἐκ τοῦ ἀτμοσφαιρικοῦ ἀέρος διὰ
προτεινομένης συσκευῆς, ἐκ τοῦ θαλασσίου δὲ ὄντος δι' ἐκχυλίσεως διὰ πετρελαϊκοῦ
αἰθέρος. Συζητῶνται τέλος η ἀξιοπιστία τῆς μεθόδου καὶ συγκρίνονται τὰ ἀποτέλεσματα
τῆς μεθόδου ταύτης μὲ τὰ ἀποτέλεσματα τῶν κλασικῶν φασματοφωτομετρικῶν
μεθόδων.

Όρολογία: Τετραμεθυλομόλυβδος, Τετρααιθυλομόλυβδος, Όργανικά μέταλλα, Άντι-
κροτικά πρόσθετα, Τοξικά δργανικά μέταλλα, Τετραλκυλομόλυβδος.

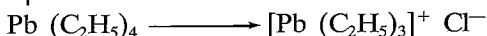
Συντήρηση: TML: Τετραμεθυλομόλυβδος, TEL: Τετρααιθυλομόλυβδος, ECD: Άνι-
χνευτής συλλογής ήλεκτρονίων, FID: Άνιχνευτής ίονισμοῦ φλογός.

Εἰσαγωγὴ

“Ἐν ἀπὸ τὰ στοιχεῖα ωυπάνσεως τοῦ περιβάλλοντος, πρόβλημα ἀπὸ τὰ
πλέον φλέγοντα τῆς ἐποχῆς μας, εἶναι δι μόλυβδος, ὑπὸ δργανικήν ἢ ἀνόργανον
μιρρήν, ἐκ τοῦ διόποιον μολύνεται δ ἀνθρωπος διὰ τῶν τροφίμων,¹⁰ διὰ τῶν
ποτῶν καὶ τῶν ὄντων,^{5,6} καὶ κυρίως διὰ τοῦ ἀτμοσφαιρικοῦ ἀέρος.³

Ἡ ωυπανσίς τῆς ἀτμοσφαιρίας ὑπὸ τοῦ μολύβδου διφεύλεται κυρίως εἰς τὴν
χρήσιν τῶν δργανικῶν παραγώγων αὐτοῦ, τετρααιθυλομόλυβδου, Pb(C₂H₅)₄,
καὶ τετραμεθυλομόλυβδου Pb(CH₃)₄ ὡς ἀντικροτικῶν, εἰς τὰ ὑγρὰ καύσιμα τῶν
μηχανῶν ἔσωτεροικῆς καύσεως. Ἐτέρα πηγὴ ωυπάνσεως εἶναι αἱ βιομηχανίαι, αἱ
παράγουσαι ἢ χρησιμοποιοῦσαι τοιαύτας δργανικάς ἐνώσεις. Ἀτομα ὡς ἐκ
τούτου τὰ διόποια εἶναι ἐκτεθειμένα, λόγῳ τοῦ ἐπαγγέλματός των, εἰς τὴν
εἰσπνοήν σημαντικῶν ποσοτήτων ἐκ τῶν ἐν λόγῳ ἐνώσεων, ὑπόκεινται εἰς
βαρείαν δηλητηρίασιν ἐκ μολύβδου, ἐνίστε δὲ θανατηφόρον.^{2,3,4,11}

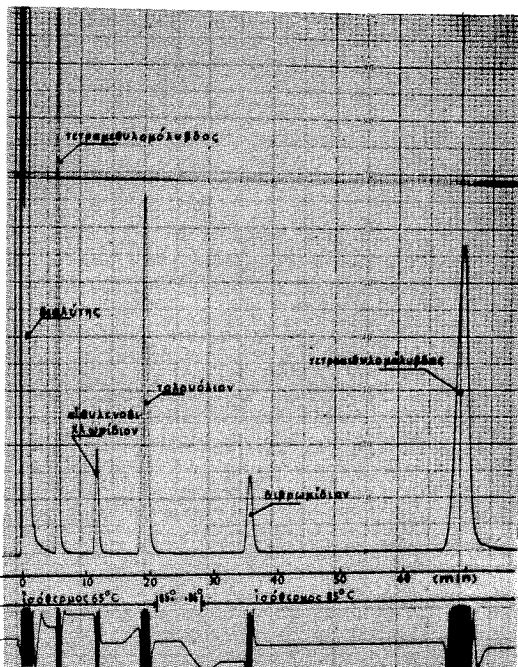
Ἡ ωψηλή τοξικότης τῶν τετρααλκυλοπαραγώγων τοῦ μολύβδου ἔναντι
τῶν ἀνοργάνων ἐνώσεων αὐτοῦ, ίδιατέρως δὲ τοῦ τετρααιθυλομόλυβδου ἔναντι
τοῦ τετραμεθυλομόλυβδου, διφεύλεται κατὰ τὸν Cremier, εἰς τὴν μετατροπὴν
τούτων ἐντὸς τοῦ ἀνθρωπίνου δργανισμοῦ εἰς τὰ ἀντίστοιχα τριαλκυλικά
παράγωγα, ἔχοντα ἐκλεκτικήν δρᾶσιν ἐπὶ τοῦ K.N.S., λόγῳ τῶν ἀνθροιστικῶν
“υτῶν ίδιοτήτων.



Σκοπὸς τῆς παρούσης ἐργασίας εἶναι ὁ ταχὺς καὶ ἀσφαλῆς προσδιορισμὸς τῶν δρυγανικῶν παραγώγων τοῦ μολύβδου ἐκ τοῦ περιβάλλοντος, ἵδιαζούσης σημασίας διὰ τὴν δημοσίαν ὑγείαν, ὁ δόποιος δὲν καθίσταται δυνατὸς διὰ τῶν κλασσικῶν φασματοφωτομετρικῶν μεθόδων.

Πειραματικὸν ὑλικόν.

Εἰς τὴν ἐργασίαν τούτην ἔχομε ποιήσανταν ἐμπορικὰ παρασκευάσματα τετρααιθυλομολύβδου περιεκτικότητος 98%, καὶ τετραμεθυλομολύβδου, περιεκτικότητος 54%. Χρωματογράφημα τοῦ μίγματος τῶν ἀνωτέρω παραγώγων τοῦ μολύβδου, τὸ δόποιον ἐλήφθη ὑπὸ συνθήκας, αἱ δόποιαι ἀναφέρονται κατωτέρω, δίδεται εἰς τὸ σχῆμα 1.



Σχ. 1. Ἀεριοχωματογράφημα μίγματος τετρααιθυλο- καὶ τετραμεθυλομολύβδου (ἐμπορικῶν παρασκευάσματος), ληφθὲν κατόπιν προγραμματισμοῦ θερμοκρασίας (65° — 85°C) καὶ στήλης πεπληρωμένης διὰ TCP 20%. Εὑνασθησία 1×10^{-8} amp.

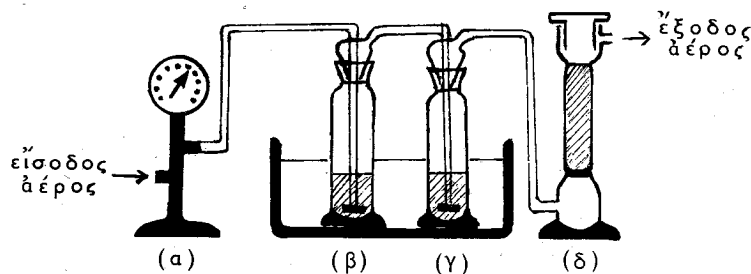
Διὰ τῶν ἀνωτέρω παρασκευασμάτων ἐμοιλύνθησαν ποσότητες ἀτμοσφαιρικοῦ ἀέρος καὶ θαλασσίου ὕδατος κατὰ τὸν ἀκόλουθον τρόπον. Εἰς χῶρον, περίπου 60 m^3 , ἔξαερώθησαν ποσότητες τῶν ἀνωτέρω τετραολκυλοπαραγώγων τοῦ μολύβδου, τῇ βιοηθείᾳ ἀνέμιστηρος, ὥστε ἡ τελικὴ συγκέντρωσις σὺντὸν εἰς τὸν ἀτμοσφαιρικὸν ἀέρα νὰ εἴναι τῆς τάξεως 300 ἢ ως 500 $\mu\text{g}/\text{m}^3$ ἀέρος. "Οσον ἀφορᾶ εἰς τὴν μόλυνσιν τοῦ θαλασσίου ὕδατος, προσετέθησαν εἰς ποσότητα

τούτου (50 lit.), άμφότερα τὰ ἀλκυλοπαραγώγα τοῦ μολύβδου εἰς ποσότητα τοιαύτην ώστε ή τελική συγκέντρωσις αὐτῶν εἰς τὸ ୩δωρ νὰ είναι τῆς τάξεως τῶν 300 έως 500 $\mu\text{g}/\text{lit}$. ୩δατος.

Διὰ τὴν συλλογὴν ὡρισμένης ποσότητος ἀτμοσφαιρικοῦ ἀέρος καὶ τὴν παραλαβὴν ἐξ αὐτοῦ τῶν τετρααλκυλοπαραγώγων τοῦ μολύβδου, ἔχοησιμοποιήθη ἡ κατωτέρω συσκευὴ (Σχ. 2).

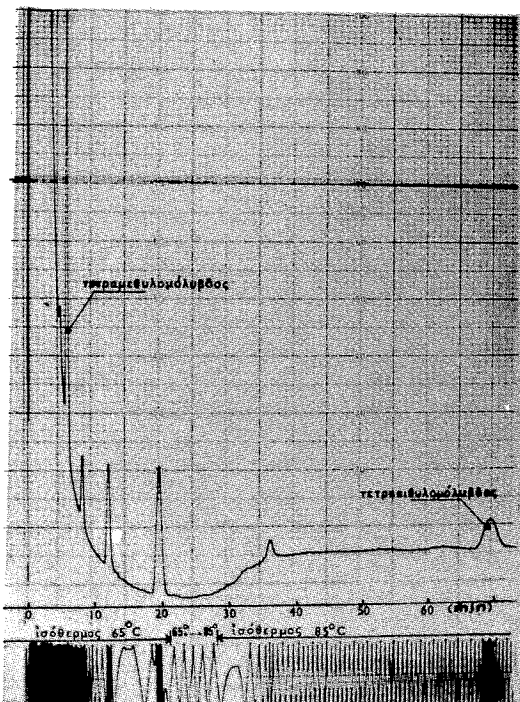
Ἡ συσκευὴ αὐτὴ ἀποτελεῖται ἐξ ἑνὸς ροομέτρου (α), διὰ τοῦ ὅποιου ὑπολογίζεται ὁ ὅγκος τοῦ διερχομένου ἀέρος, ἐκ δύο πλυντρίδων (β καὶ γ), αἱ ὅποιαι τοποθετοῦνται ἐντὸς δοχείου Dewar ὑερμοκρασίας -20°C, διὰ τῶν ὅποιων ὁ ἀηρ διέρχεται διὰ φίλτρου ἐκ πορσελάνης, πρὸς σχηματισμὸν μικροφυσαλίδων. Ἐκάστη πλυντρὶς περιέχει 50 ml πετρελαϊκοῦ αἰθέρος 40°-60°C. Τέλος ἡ συσκευὴ συμπληρώνεται διὰ μιᾶς πλυντρίδος-στήλης, ἡ ὅποια εἶναι πεπληρωμένη διὰ μίγματος Chromosorb W/AW, 60-80 mesh, καὶ Silica gel 0.2-0.5 mm 1:1 W/W, ἐμπεποιημένου διὰ 50 ml Cellosolve (Ethylene glycol monoethyl ether).

Μετὰ τὴν λειτουργίαν τῆς συσκευῆς ἐπὶ χρονικὸν τι διάστημα, παραλαμβάνεται ὁ πετρελαϊκὸς αἰθέρος τῶν πλυντρίδων καὶ δι’ αὐτοῦ ἐκχυλίζεται τὸ περιεχόμενον τῆς στήλης (δ). Ἀκολούθως τὸ μῆγμα τοῦ πετρελαϊκοῦ αἰθέρος — Cellosolve, πλύνεται εἰς διαχωριστικὴν χοάνην 4 φοράς, δι’ 100ml ୩δατος ἑκάστην καὶ κατόπιν ξηραίνεται δι’ ἀνύδρου Na_2SO_4 εἰς στήλην ὑψους 10 cm. Μεταφέρεται ἐν συνεχείᾳ ὁ αἰθέρος εἰς ὁγκομετρικὴν φιάλην τῶν 100 ml καὶ συμπληρώνεται διὰ πετρελαϊκοῦ αἰθέρος. Τὸ αἰθέροικὸν τοῦτο διάλυμα χρησιμοποιεῖται διὰ τὴν ἀπ’ εὐθείας ἔγχυσιν εἰς τὸν ἀεριοχρωματογράφον (σχ. 3).



Σχ. 2. Συσκευὴ διὰ τὴν παραλαβὴν τῶν τετρααλκυλοπαραγώγων τοῦ μολύβδου ἐκ τοῦ ἀτμοσφαιρικοῦ ἀέρος. (α) Ροόμετρον δεικνύον τὴν παροχὴν ἀέρος. (β καὶ γ) Πλυντρίδες ἀερίων, ἐντὸς δοχείου Dewar, περιέχουσαι πετρελαϊκὸν αἰθέρος 40°-60°C. (δ) Πλυντρὶς-στήλη ἀερίων.

Ἡ παραλαβὴ τῶν ἀλκυλοπαραγώγων τοῦ μολύβδου ἐκ τοῦ θαλασσίου ୩δατος γίνεται δι’ ἐκχυλίσεως τούτου διὰ πετρελαϊκοῦ αἰθέρος 40°-60°C, εἰς διαχωριστικὴν χοάνην. Μετὰ τὴν ἔκπλυσιν δι’ ୩δατος τοῦ πετρελαϊκοῦ αἰθέρος καὶ τὴν ξηρανσιν αὐτοῦ, μεταφέρεται εἰς ὁγκομετρικὴν φιάλην τῶν 100 ml. Χρησιμοποιεῖται δὲ ἀκολούθως ὡς καὶ εἰς τὴν περίπτωσιν τοῦ ἀέρος (Σχ. 4).

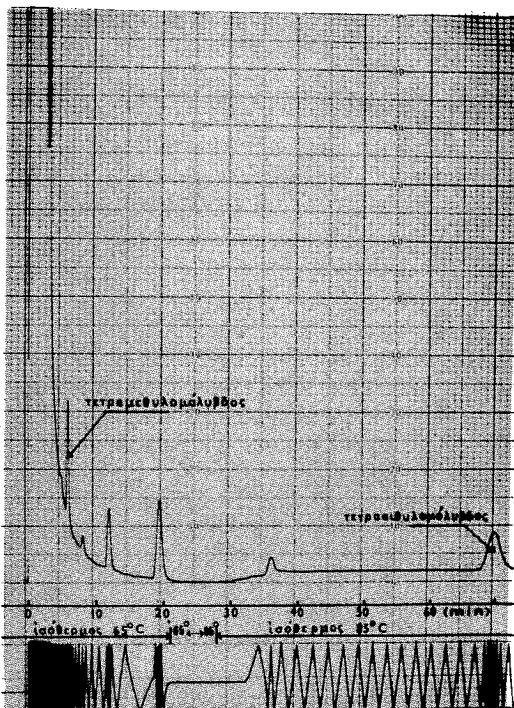


Σχ. 3. Άεριοχρωματογράφημα ληφθέν εκ τῶν ἀλκυλοπαραγώγων τοῦ μολύβδου, παραληφθέντων κατὰ τὸν ἀνωτέρω τρόπον, ἐκ πειραματικῶς ωπανθέντος ἀέρος καὶ ὑπὸ τᾶς συνθήκας χωματογραφήσεως, αἱ δοιαὶ ἀναφέρονται κατωτέρω. Εύαισθησία 3×10^{-10} amp.

Διὰ τὸν προσδιορισμὸν τῶν τετρααιθυλοπαραγώγων τοῦ μολύβδου ἔχοησιμοποιήθη ἀεριοχρωματογράφος Packard 7.400, ἐφωδιασμένος δι’ ἀνιχνευτοῦ ἰονισμοῦ φλογός καὶ ὑαλίνης στήλης σχήματος U, διαστάσεων 6' \times 1/4", πεπληρωμένης δι’ ὑγρᾶς φάσεως TCP 20% (Tricresylphosphate), προσδροφουμένης ἐπὶ ἀδρανοῦς ὕλης Chromosorb P 60/80 mesh. Αἱ ἐφαρμοσθεῖσαι ὑερμοκρασίαι θαλάμου ἔξειρθσεως καὶ ἀνιχνευτοῦ ἦσαν ἀντιστοίχως 130°C καὶ 160°C, τῆς δὲ στήλης ἦτο, κατόπιν προγραμματισμοῦ, ἀπὸ 65°C εἰς 85°, κατὰ τὸ ὀκάλουνθον πρόγραμμα. Ἰσόθερμος 65°C ἐπὶ 21 min, μεταβλητὴ ἀπὸ 65°C εἰς 85°C εἰς χρονικὸν διάστημα 7 min, καὶ ἀκολούθως ἰσόθερμος 85°C. Ὡς φέρον ἀέριον ἔχοησιμοποιήθη ἄζωτον εἰς ροὴν τῶν 100 ml (11 psi)/min. Αἱ ροαὶ τέλος ὑδρογόνου καὶ ἀέρος ἦσαν ἀντιστοίχως 40 ml/min καὶ 400ml/min. Ἡ ἐφαρμοσθεῖσα εύαισθησία ἦτο 3×10^{-10} amp.

Αποτελέσματα καὶ ουζήτησις.

Ύπὸ τὰς ἀνωτέρω συνθήκας ἔργασίας ἐγένοντο ἀνὰ τρεῖς πειραματικαὶ ωπανσεις ἀτμοσφαιρικοῦ ἀέρος καὶ ὑαλασίου ὕδατος διὰ τῶν τετραμεθυλομολύβδου (TML) καὶ τετρααιθυλομολύβδου (TEL). Ὁ προσδιορισμὸς τῶν



Σχ. 4. Άεριοχωματογράφημα δίλυκου παραγώγων του μοιλύβδου, παραληφθέντων δι' έκχυσίσεως εξ πειραιατικώς μοιλυσθέντος θαλασσίου υδατος, υπό τάς συνθήκας χωματογραφήσεως, αἱ διοῖαι ἀναφέρονται κατωτέων. Ενδιασθησία, 3×10^{-9} amp.

ἀλκυλοπαραγώγων αὐτῶν ἐκ τοῦ ἀέρος ἐγένετο μετὰ 2ωρον (α) καὶ 12ωρον (β, ἀπὸ τῆς ρυπάνσεως, πρὸς διαπίστωσιν ἐνδεχομένων ἀπωλειῶν ἢ διασπάσεων τῶν πτητικῶν τούτων προϊόντων. Διὰ τὸν αὐτὸν σκοπόν, ὁ προσδιορισμὸς τῶν τετραλκυλοπαραγώγων ἐκ τοῦ θαλασσίου ὕδατος ἐγένετο μετὰ 2ωρον (γ) καὶ μετὰ 24ωρον (δ) ἀπὸ τῆς ρυπάνσεως. Τὰ ἀποτελέσματα τῶν μετρήσεων δίδονται εἰς τὸν πίνακα I.

ΠΙΝΑΞ Ι: 'Αποτελέσματα τῶν μετρήσεων πειραματικῶς ως πανθέντος ἀρέος και θαλασσίου ὄντος ώπε τετραμεθυλομολύβδου (TML) και τετραμεθυλομολύβδου (TEL)

ΑΤΜΟΣΦΑΙΡΙΚΟΣ ΑΗΡ						ΘΑΛΑΣΣΙΟΝ ΥΔΩΡ					
TML ($\mu\text{g}/\text{m}^3$)			TEL ($\mu\text{g}/\text{m}^3$)			TML ($\mu\text{g}/\text{lit}$)			TEL ($\mu\text{g}/\text{lit}$)		
προστε- θείσα ποσότ.	Εύρεθείσα ποσότης (α)	Προστε- θείσα ποσοτ. (β)	Εύρεθείσα ποσότης (α)	Προστε- θείσα ποσότης (β)	Προστε- θείσα ποσότ.	Εύρεθείσα ποσότης (γ)	Προστε- θείσα ποσότης (δ)	Προστε- θείσα ποσότ.	Εύρεθείσα ποσότης (γ)	Εύρεθείσα ποσότης (δ)	
300	193.2	168.9	300	243.6	222.3	300	229.5	210.0	300	271.8	249.9
400	258.0	234.8	400	330.0	294.8	400	308.0	282.0	400	365.2	335.6
500	326.0	297.0	500	415.5	369.5	500	388.5	354.7	500	458.5	418.0

Τὸ σχετικὸν σφάλμα τῆς μεθόδου, ὃς διαπιστοῦται ἐκ τῶν ἀποτελεσμάτων, κυμαίνεται διὰ τὸν ἀτμοσφαιρικὸν ἀέρα, διὰ μὲν τὸν τετραμεθυλομόλυβδον ἀπὸ 35.3% ἔως 41.9%, διὰ δὲ τὸν τετρααιθυλομόλυβδον ἀπὸ 7.7% ἔως 21.6%. Διὰ τὸ θαλάσσιον ὑδωρ ἐξ ἄλλου τὸ σχετικὸν σφάλμα κυμαίνεται διὰ μὲν τὸν τετραμεθυλομόλυβδον ἀπὸ 22.9% ἔως 29.6%, διὰ δὲ τὸν τετρααιθυλομόλυβδον ἀπὸ 8.8% ἔως 16.4%. Ως ἐκ τῶν ἀνωτέρω, συμπεραίνεται δτὶ ὁ τετραμεθυλομόλυβδος ἀπόλλυται ἢ διασπᾶται εἰς τὸ περιβάλλον πολὺ περισσότεροι ἀπ' δτὶ ὁ τετρααιθυλομόλυβδος. Πρὸς τούτοις διαπιστοῦται δτὶ, δι' ἀμφότερα τὰ τετρααλκυλοπαραγώγα τοῦ μολύβδου, τὸ περιβάλλον τοῦ ἀτμοσφαιρικοῦ ἀέρος εἶναι περισσότερον πρόσφορον διὰ τὴν ἀπώλειαν ἀπ' δτὶ τὸ θαλάσσιον ὑδωρ.

Ἡ προτεινομένη μέθοδος ἐργασίας, συγκρινομένη πρὸς τὰς φασματοφωτομετρικὰς μεθόδους, παρουσιάζει δύο βασικὰ πλεονεκτήματα. Τὸ πρῶτον ἀναφέρεται εἰς τὴν ἀνιχνευσιν καὶ τὸν προσδιορισμὸν τῶν ὀργανικῶν ἐνώσεων τοῦ μολύβδου, τὰς ὅποιας αἱ ἀναφερθεῖσαι μέθοδοι ἀδυνατοῦν νὰ ἀνιχνεύσουν καὶ νὰ προσδιορίσουν. Αἱ φασματοφωτομετρικαὶ καὶ ἡ διὰ πολαρογραφίας μέθοδοι, ὡς γνωστόν, προσδιορίζουν μόνον ἀνόργανον μόλυβδον, τὸν δὲ ὀργανικὸν τοιοῦτον, ἀφοῦ πρότερον μετατρέψουν τοῦτον εἰς ἀνόργανον μορφήν. Δεύτερον πλεονέκτημα τῆς μεθόδου ταύτης εἶναι ἡ ηὐξημένη εύαισθησία ἔνοντι τῶν ἀναφερθεῖσῶν κλασικῶν μεθόδων. Διὰ τῆς προτεινομένης μεθόδου τὸ δριον ἀνιχνεύσεως τοῦ ὀργανικοῦ μολύβδου εἶναι 50 ng (ἔγχυσις εἰς τὸν ἀεριοχρωματογράφον 50 ng , εἰς τὴν εύαισθησίαν τῶν $1 \times 10^{-10} \text{ amp.}$, καλύπτει τὸ 10% τῆς κλίμακος). Ἀντιθέτως εἰς τὰς φασματοφωτομετρικὰς μεθόδους τὸ δριον τῆς ἀνιχνεύσεως τοῦ μολύβδου (ἀνοργάνου) εἶναι τῆς τάξεως τῶν 2000 ng .⁴

Εἰς τὴν προσπάθειαν πρὸς τούτοις αὐξῆσεως τῆς εύαισθησίας τῆς μεθόδου, ἔχοντιμοποιήθη ὁ ἀνιχνευτής δεσμεύσεως ἡλεκτρονίων, (electron capture), διὰ τοῦ ὅποιου ἡ εύαισθησία ἀνιχνεύσεως τῶν ἀλκυλοπαραγώγων τοῦ μολύβδου ἦτο τῆς τάξεως τοῦ 1.5 ng , εἰς τὴν εύαισθησίαν τῶν $3 \times 10^{-10} \text{ amp.}$ Διεπιστώθη ὅμως ὁμπανσίς τοῦ ἀνιχνευτοῦ, ὡς ἐκ τούτου δὲ μείωσις τῆς εύαισθησίας τούτου, ἐξ ἀλκυλοαλογονοπαραγώγων, τὰ ὅποια εἶναι σχεδόν πάντοτε παρόντα εἰς τὰ ἀλκυλοπαραγώγα τοῦ μολύβδου. Προσπάθεια ἡ ὅποια ἐγένετο διὰ τὴν ἀπαλλαγὴν τῶν δειγμάτων ἐκ τῶν ἀλκυλοαλογονοπαραγώγων διὰ τῆς χρήσεως στήλης διὰ νιτρικοῦ ἀργύρου,¹ δὲν ἔδωκε τὰ ἀναμενόμενα ἀποτελέσματα καὶ δὲν ἀπεφεύχθη ἡ μόλυνσις τοῦ ἀνιχνευτοῦ.

Ἐτέρα προσπάθεια ἡ ὅποια ἐγένετο ἦτο ἡ ἀντικατάστασις τοῦ πετρελαϊκοῦ αἰθέρος, ὡς διαλύτου, ὑπὸ ἐτέρου τοιούτου, ὡς τὸ τολουόλιον, τὸ βενζόλιον, τὸ cellosolve κλπ., καθ' ὃσον τὰ κλάσματα τοῦ πετρελαϊκοῦ αἰθέρος ἐπαρουσίαζον μικρὰν διαφορὰν εἰς τὸν χρόνον κατακρατήσεως τοῦ αἰθέρος καὶ τοῦ τετραμεθυλομολύβδου. Τὰ ἀποτελέσματα ὅμως δὲν ὑπῆρξαν ἴκανοποιητικὰ καθ' δτὶ οἱ χρησιμοποιηθέντες διαλύται ἐπαρουσίαζον ἐντόνως ηὐξημένην ἀπόκρισιν (respond), μὲ ἀποτέλεσμα ὡς ἐκ τούτου τὴν ὑπεροχάλυψιν ὀρισμένων κορυφῶν. Μετὰ ταῦτα ἐπεχειρήθη ἡ ἐφαρμογὴ προγραμματισμοῦ τῆς θεομοκρασίας τῆς στήλης, μὲ ἴκανοποιητικὰ ἀποτελέσματα λόγῳ καλοῦ διαχωρισμοῦ τῶν κλασμάτων τοῦ πετρελαϊκοῦ αἰθέρος καὶ τοῦ τετραμεθυλομολύβδου.

Ἡ ἐπιλεγεῖσα ἐξ ἄλλου ύγρὰ φάσις τῆς στήλης, TCP 20%, ἐγένετο κατόπιν δοκιμῆς καὶ συγκρίσεως τῶν ἀποτελεσμάτων αὐτῆς μετὰ ἐτέρων ύγρῶν φάσεων, ὡς τὸ Squalene 5%, SE-30 3%, TCEP 10%.^{7,8,9} Διὰ τῆς TCP 20% ἐπετεύχθη ὁ καλύτερος διαχωρισμός, ὃσον ἀφορᾶ κυρίως εἰς τὸν τετραμεθυλομόλυβδον.

Δοκιμαί, αἱ ὅποιαι ἐγένοντο τέλος διὰ τὸν ἀπ' εύθειας προσδιορισμὸν τῶν ἀλκυλοπαραγώγων τοῦ μολύβδου ἐκ τοῦ ἀτμοσφαιρικοῦ ἀέρος, κατόπιν ἀπ'

ευθείας έγχύσεως άτμοσφαιρικοῦ δέρματος (5 ml) εἰς άεριοχρωματογράφον έφωδαιασμένον δι' ανιχνευτοῦ δεσμεύσεως ήλεκτρονίων, έδωκεν άξιόλογα άποτελέσματα, έφ' ὅσον ὅμως ή συγκέντρωσις τῶν άλκυλοπαραγώγων εἰς τὸν άέρα ήτο άρκουντως ύψηλή.

Abstract

Determination of lead alkyls in atmospheric air and sea-water by Gas Chromatography

An accurate and simple method for the determination of mixed (tetramethyl-and tetraethyl) lead alkyls in atmospheric air and sea-water is described. These compounds are determined by Gas Chromatography with Flame Ionization Detector. The reliability of results and the lack of interferences are verified with three experiments of each case.

Βιβλιογραφία

- 1 Bonelli, E., Hartmann, H.: "Determination of lead alkyls by Gas Chromatography with Electron Capture Detector", *Anal. Chem.* 35, 1980 (1963)
- 2 Brookes, V.J. and Jakobs, M.B.: *Poisons: Properties, Chemicals, Identification, Symptoms and Emergency treatment*. pp. 172-173. Edit. D. van Nostrand Company Inc. N. York (1958)
- 3 Cremer, J.E.: "Alkyl lead compounds" *Occupational Health Review* 14, 19 (1965)
- 4 *Handbook of Analytical Toxicology*. p.p. 706, 725. Edit. Ir. Sunshine. The Chemical Rubber Co. Ohio (1969)
- 5 Kekoe, R.A.: "The metabolism of lead in men in health and disease". *The Harben Lecture 1960*. J. Royal Inst. Public Health and Hygiene (1961)
- 6 Nakogava, R.: "Minor elements in sulfurous sinters of Tamagawa hot springs. Acita Prefecture". *Nippon Kagaku Zasshi* 86; 46 (1965)
- 7 Parker, W.W., Smith, G.Z. and Hudson R.L.: "Determination of mixed lead alkyls in Gasoline by combined Gas Chromatography and Spectrophotometric techniques". *Anal. Chem.* 33, 1170 (1961)
- 8 Soulages, N.L.: "Determination of methyl ethyl lead alkyls and halide scavengers in gasoline by Gas Chromatography and Flame Ionization Detection". *Anal. Chem.* 39, 1340 (1964)
- 9 Soulages, N.L.: "Simultaneous determination of lead alkyls and halide Scavengers in gasoline by Gas Chromatography with Flame Ionization Detection". *Anal. Chem.* 38, 28 (1966)
- 10 Warren, H.V. and Dalavault, R.E.: "Lead in some food crops and trees". *J. Sci. Food Agr.* 13, 96 (1962)
- 11 W.H.O.: *Health hazards of the human environment*. pp. 178-181. Geneva (1972)

SYNTHESE DE QUELQUES NOUVEAUX DÉRIVÉS DE LA BENZHYDRYLAMINE

G. PAPAJOANNOU et P. CRITA

C. TAIAROANNIS et I. CRITA
Laboratoire de Pharmacie Chimique de l'Université d'Athènes, Athènes, Grèce

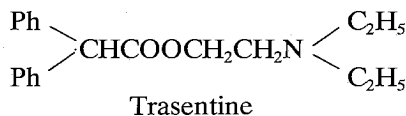
(Reçu le 29 Octobre 1975)

Resumé

Les auteurs préparent des N-aminoacétyle-benzhydrylamines, substituées sur l'azote du groupe amine et portant ou non sur l'un des phényles un groupe alcoxy comme substituant. Les produits en question sont obtenus en partant des oximes des benzophénones appropriées, qui sont réduites en benzhydrylamines. Ces dernières, sous l'action du chlorure de chloracétyle, puis de diverses amines, conduisent aux produits finaux désirés, de formule générale (1). La partie pharmacologique sera publiée dans un autre recueil.
Key words: Dérivés benzhydrylaminé.

Partie Theoretique

Le présent travail constitue une contribution aux nombreuses recherches sur les anesthésiques locaux, effectuées au cours des quinze dernières années, dans le Laboratoire de Pharmacie Chimique de l'Université d'Athènes. La particularité des produits de ce travail consiste en ce que la partie aromatique lipophile de la molécule classique des anesthésiques locaux (partie aromatique lipophile-chaîne intermédiaire-partie aminique hydrophile) comporte deux aryles joints au même atome de carbone, ce qui rappelle une autre molécule, celle des parasympatholytiques de synthèse et notamment de la Trasentine:



Il nous a, en effet, paru intéressant de joindre dans la même molécule des éléments caractéristiques de deux grands groupes de produits, celui des anesthésiques locaux et celui des parasympatholytiques type Trasentine, afin d'étudier le comportement pharmacologique de la nouvelle molécule ainsi obtenue.

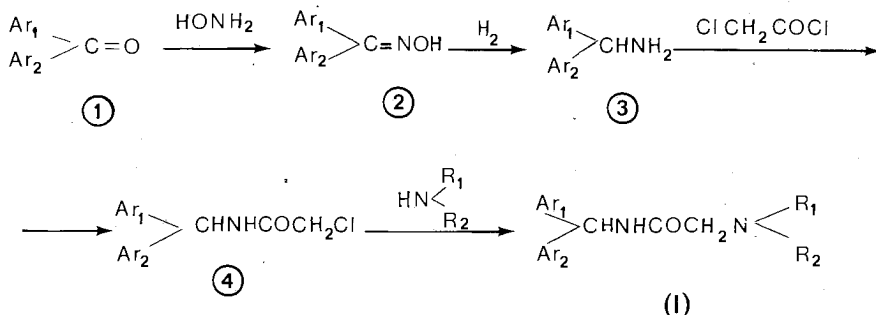
Les produits préparés au cours du présent travail correspondent à la formule générale (I):



$\text{Ar}_1 = \text{Ar}_2 = \text{C}_6\text{H}_5$	Série Ia
$\text{Ar}_1 = 4\text{-CH}_3\text{OC}_6\text{H}_4$, $\text{Ar}_2 = \text{C}_6\text{H}_5$	Série Ib
$\text{Ar}_1 = 3\text{-C}_2\text{H}_5\text{OC}_6\text{H}_4$, $\text{Ar}_2 = \text{C}_6\text{H}_5$	Série Ic

Dans la formule ci-dessus, Ar₁ et Ar₂ représentent des phényles, dont l'un peut être substitué par un groupe alcoxy en position meta ou para et R₁ et R₂ sont des alcoyles inférieurs, ou, avec l'atome d'azote adjacent, constituent le reste d'un noyau hétérocyclique.

Les matières premières utilisées pour la préparation des produits précités ont été a) la benzophénone (série Ia), b) la méthoxy-4 - benzophénone (série Ib), c) l'éthoxy-3 benzophénone (série Ic). Les benzophénones ont été transformées en oximes et celles-ci réduites en benzhydrylamines, qui, par action de chlorure de chloracétyle, puis de diverses amines, ont conduit aux produits désirés, de formule générale (I). La méthode employée peut donc être représentée par le schéma ci-après:



Les produits de formule générale (I) ont été transformés en sels d'addition avec des acides et/ou en sels d'ammonium quaternaires, selon les procédés bien connus de transformation de bases aminiques en sels.

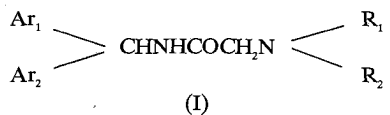
Quant aux matières premières, 1, la benzophénone (série Ia) a été prise dans le commerce. La méthoxy-4 benzophénone (série Ib) a été préparée en partant de l'acide méthoxy-4 benzoïque, qui, sous l'action du chlorure de thionyle, a été transformé en son chlorure et ce dernier a donné la méthoxy-4 benzophénone¹ désirée, par action de benzène, en présence de chlorure d'aluminium, selon la réaction classique de Friedel-Craft.² L'éthoxy-3 benzophénone (série Ic) a été obtenue en partant de l'éthoxy-3 benzaldéhyde, lui-même préparé par l'action du sulphate de diéthyle³ sur l'hydroxy-3 benzaldéhyde. L'éthoxy-3 benzaldéhyde ainsi obtenu a été oxydé à l'aide de permanganate de potassium, vers l'acide benzoïque substitué correspondant et ce dernier a fourni l'éthoxy-3 benzophénone désirée (E_{b17} = 203-205°C, n³⁰_D = 1,579, analyse C₁₅H₁₄O₂), par l'action du benzène sur son chlorure, selon Friedel-Craft.²

Partie Expérimentale

A titre d'exemple, nous décrivons ci-après la préparation d'un des produits du présent travail, en partant de la benzophénone appropriée.

N-DIÉTHYLAMINOACÉTYLE - BENZHYDRYLAMINE
(Ia, R₁ = R₂ = C₂H₅)

TABLEAU I



Ar ₁	Ar ₂	N ^{R ₁} R ₂	Rdt. % ^(a)	N°	Base ou sel	Formule brute	F°C ^(b)	Remarques
C ₆ H ₅	C ₆ H ₅	diméthylamino	96	T2214	Picrate	C ₂₂ H ₂₃ N ₅ O ₈	218-221 ^(c)	
				T1869	Chlorhydrate	C ₁₇ H ₂₁ N ₂ OCl	225-226 ^(c)	
				T1872	Iodométhylate	C ₁₈ N ₂₃ N ₂ OI	231-233 ^(c)	
C ₆ H ₅	C ₆ H ₅	diéthylamino	77,5	T1518	Picrate	C ₂₅ H ₂₇ N ₅ O ₈	202-203 ^(c)	
				T1519	Chlorhydrate	C ₁₉ H ₂₅ N ₂ OCl	168,5 ^(c)	
				T1520	Iodoéthylate	C ₂₁ H ₂₉ N ₂ OI	169-170 ^(c)	
C ₆ H ₅	C ₆ H ₅	morpholino	96	T1521	Base	C ₁₉ H ₂₃ N ₂ O ₂	94 ^(d)	Série Ia
				T1522	Chlorhydrate	C ₁₉ H ₂₃ N ₂ O ₂ Cl	223-224 ^(c)	
				T1523	Iodométhylate	C ₂₀ H ₂₅ N ₂ O ₂ I	174-175 ^(c)	
C ₆ H ₅	C ₆ H ₅	pipéridino	59	T1524	Base	C ₂₀ H ₂₄ N ₂ O	72-73 ^(d)	
				T1525	Chlorhydrate	C ₂₀ H ₂₅ N ₂ OCl	83 ^(c)	
				T1526	Iodométhylate	C ₂₁ H ₂₇ N ₂ OI	206 ^(c)	
C ₆ H ₅	C ₆ H ₅	pyrrolidino	89	T1527	Base	C ₁₉ H ₂₂ N ₂ O	95 ^(d)	
				T1528	Chlorhydrate	C ₁₉ H ₂₃ N ₂ OCl	201-202 ^(c)	
				T1529	Iodométhylate	C ₂₀ H ₂₅ N ₂ OI	200-201 ^(c)	
C ₆ H ₅	C ₆ H ₅	n-butylamino	95	T1530	Picrate	C ₂₅ H ₂₇ N ₅ O ₈	211-212 ^(c)	
				T1531	Chlorhydrate	C ₁₉ H ₂₅ N ₂ OCl.1/2 H ₂ O	153 ^(c)	
C ₆ H ₅	C ₆ H ₅	isopropylamino	98	T1532	Picrate	C ₂₄ H ₂₅ N ₅ O ₈	195 ^(c)	
				T1533	Chlorhydrate	C ₁₈ H ₂₃ N ₂ OCl	256 ^(c)	
4-CH ₃ OC ₆ H ₄	C ₆ H ₅	diméthylamino	79	T2094	Picrate	C ₂₄ H ₂₅ N ₅ O ₉	210-211 ^(c)	Série Ib
				T2095	Maléate	C ₂₂ H ₂₆ N ₂ O ₆	116 ^(c)	
				T2116	Iodométhylate	C ₁₉ H ₂₅ N ₂ O ₂ I	202-204 ^(c)	

TABLEAU I (Suite I)

Ar ₁	Ar ₂	N ^{R ₁} R ₂	Rdt. % ^(a)	N°	Base ou sel	Formule brute	F°C ^(b)	Remarques
4-CH ₃ OC ₆ H ₄	C ₆ H ₅	diéthylamino	84	T1614	Picrate	C ₂₆ H ₂₉ N ₅ O ₉	185 ^(c)	
				T2085	Fumarate	C ₂₄ H ₃₀ N ₂ O ₆	135-136 ^(c)	
				T2084	Iodoéthylate	C ₂₂ H ₃₁ N ₂ O ₂ I	177-178 ^(c)	
4-CH ₃ OC ₆ H ₄	C ₆ H ₅	morpholino	94	T2086	Picrate	C ₂₆ H ₂₇ N ₂ O ₁₀	195-196 ^(c)	
				T2087	Maléate	C ₂₄ H ₂₈ N ₂ O ₇	178 ^(c)	
				T2088	Iodométhylate	C ₂₁ H ₂₇ N ₂ O ₃ I	188-189 ^(c)	
4-CH ₃ OC ₆ H ₄	C ₆ H ₅	pipéridino	94	T2089	Picrate	C ₂₇ H ₂₉ N ₅ O ₉	204-205 ^(c)	
				T2090	Maléate	C ₂₅ H ₃₀ N ₂ O ₆	154-155 ^(c)	Série Ib (Suite)
				T2091	Iodométhylate	C ₂₂ H ₂₉ N ₂ O ₂ I	173-174 ^(c)	
4-CH ₃ OC ₆ H ₄	C ₆ H ₅	pyrrolidino	86	T2096	Picrate	C ₂₆ H ₂₇ N ₅ O ₉	205-206 ^(c)	
				T2097	Maléate	C ₂₄ H ₂₈ N ₂ O ₆ .1/2 H ₂ O	149-150 ^(c)	
				T2098	Iodométhylate	C ₂₁ H ₂₇ N ₂ O ₃ I	136-137 ^(c)	
4-CH ₃ OC ₆ H ₄	C ₆ H ₅	n-butylamino	78	T2099	Picrate	C ₂₆ H ₂₉ N ₅ O ₉	196-197 ^(c)	
				T2100	Maléate	C ₂₄ H ₃₀ N ₂ O ₆	162-164 ^(c)	
4-CH ₃ OC ₆ H ₄	C ₆ H ₅	isopropylamino	82	T2093	Picrate	C ₂₅ H ₂₇ N ₅ O ₉	184 ^(c)	
				T2092	Maléate	C ₂₃ H ₂₈ N ₂ O ₆	174-176 ^(c)	
3-C ₂ H ₅ OC ₆ H ₄	C ₆ H ₅	diméthylamino	76	T3656	Chlorhydrate	C ₁₉ H ₂₅ N ₂ O ₂ Cl	168-170 ^(c)	
				T3630	Iodométhylate	C ₂₀ H ₂₇ N ₂ O ₂ I	183-184 ^(c)	
3-C ₂ H ₅ OC ₆ H ₄	C ₆ H ₅	diéthylamino	95	T3626	Picrate	C ₂₇ H ₃₁ N ₅ O ₉	117-119 ^(c)	
				T3655	Iodoéthylate	C ₂₃ H ₃₃ N ₂ O ₂ I	123-124 ^(c)	
3-C ₂ H ₅ OC ₆ H ₄	C ₆ H ₅	morpholino	86	T2244	Base	C ₂₁ H ₂₆ N ₂ O ₃	84-85 ^(d)	
				T2245	Chlorhydrate	C ₂₁ H ₂₇ N ₂ O ₃ Cl	180-182 ^(c)	Série Ic
				T2312	Iodométhylate	C ₂₂ H ₂₉ N ₂ O ₃ I	187-189 ^(c)	

TABLEAU I (Suite II)

Ar ₁	Ar ₂	N< ^{R₁} R ₂	Rd. % ^(a)	N°	Base ou sel	Formule brute	F.C. ^(b)	Remarques
3-C ₂ H ₅ OC ₆ H ₄	C ₆ H ₅	pipéridino	84	T3654 T2313	Chlorhydrate Iodométhylate	C ₂₂ H ₂₉ N ₂ O ₂ Cl C ₂₃ H ₃₁ N ₂ O ₂ I	153-154 ^(c) 178 ^(c)	
3-C ₂ H ₅ OC ₆ H ₄	C ₆ H ₅	pyrrolidino	96	T2243 T3653	Base Iodométhylate	C ₂₁ H ₂₆ N ₂ O ₂ C ₂₂ H ₂₉ N ₂ O ₂ I	89-90 ^(d) 126-127 ^(c)	Série Ic (Suite)
3-C ₂ H ₅ OC ₆ H ₄	C ₆ H ₅	n-butylamino	79	T3629 T2394	Picrate Chlorhydrate	C ₂₇ H ₃₁ N ₅ O ₉ C ₂₁ H ₂₉ N ₂ O ₂ Cl	166-168 ^(c) 122 ^(c)	
3-C ₂ H ₅ OC ₆ H ₄	C ₆ H ₅	isopropylamino	95	T2314	Chlorhydrate	C ₂₀ H ₂₇ N ₂ O ₂ Cl	180-182 ^(c)	

(a). Rendement en base brute, calculé sur la N-chloracétyle-benzhydrylamine.

(b). Les points de fusion ont été pris dans des tubes capillaires et ne sont pas corrigés.

(c). Recristallisé dans l'éthanol absolu.

(d). Recristallisé dans l'éther de pétrole.

(e). Recristallisé dans le mélange éther anhydre-éthanol absolu.

TABLEAU II (Analyse)

N°	Calc %					Tr %					Remarques
	C	H	N	Cl	I	C	H	N	Cl	I	
T2214	55,5	4,7	—	—	—	55,9	4,7	—	—	—	
T1869	66,9	6,9	9,2	11,6	—	66,5	6,6	9,4	11,8	—	
T1872	52,7	5,6	6,8	—	—	52,8	5,5	6,7	—	—	
T1518	57,1	5,2	13,3	—	—	56,9	5,1	13,2	—	—	
T1519	—	—	8,4	10,7	—	—	—	8,7	10,3	—	
T1520	—	—	6,2	—	28,0	—	—	6,1	—	28,0	
T1521	73,5	7,1	9,0	—	—	73,5	7,0	8,9	—	—	
T1522	65,9	6,5	8,1	10,3	—	65,5	6,7	8,5	10,3	—	
T1523	53,1	5,6	6,1	—	28,2	53,2	5,6	5,8	—	27,9	Série Ia
T1524	77,9	7,8	—	—	—	78,2	8,2	—	—	—	
T1525	—	—	8,1	10,3	—	—	—	8,1	10,0	—	
T1526	56,0	6,1	6,2	—	—	55,8	6,2	6,2	—	—	
T1527	77,5	7,5	9,5	—	—	77,9	7,5	9,5	—	—	
T1528	69,0	7,0	8,5	10,6	—	68,7	6,9	8,8	10,6	—	
T1529	55,1	5,8	6,4	—	29,1	55,3	6,0	6,1	—	29,2	
T1530	57,3	5,0	—	—	—	57,5	5,3	—	—	—	
T1531	66,7	7,7	8,2	10,4	—	66,4	7,3	8,5	10,3	—	
T1532	56,4	4,9	—	—	—	56,6	5,2	—	—	—	
T1533	67,8	7,3	8,8	11,1	—	67,9	7,3	8,8	10,9	—	
T2094	54,6	4,8	—	—	—	54,2	5,0	—	—	—	
T2095	63,7	6,3	6,8	—	—	63,4	6,5	7,2	—	—	
T2116	51,8	5,7	6,4	—	—	51,9	5,5	6,0	—	—	Série Ib
T1614	56,2	5,3	12,6	—	—	56,2	5,4	12,7	—	—	
T2085	65,1	6,8	6,3	—	—	65,1	6,8	6,4	—	—	
T2084	—	—	5,8	—	26,3	—	—	5,6	—	26,7	

TABLEAU II (Suite)

N°	Calc %					Fr %					Remarques
	C	H	N	Cl	I	C	H	N	Cl	I	
T2086	54,8	4,8	—	—	—	55,2	4,8	—	—	—	
T2087	63,1	6,2	6,1	—	—	62,9	6,1	6,1	—	—	
T2088	52,3	5,6	5,8	—	—	52,1	5,7	5,7	—	—	
T2089	57,1	5,1	—	—	—	57,5	4,8	—	—	—	
T2090	66,0	6,7	6,2	—	—	65,8	6,7	6,3	—	—	Série Ib
T2091	55,0	6,1	5,8	—	—	55,2	6,2	5,7	—	—	(suite)
T2096	56,4	4,9	—	—	—	56,7	5,0	—	—	—	
T2097	64,1	6,5	6,2	—	—	64,5	6,2	6,3	—	—	
T2098	54,1	5,8	6,0	—	—	54,2	5,6	5,8	—	—	
T2099	56,2	5,3	—	—	—	56,2	5,2	—	—	—	
T2100	65,1	6,8	6,3	—	—	64,8	6,8	6,7	—	—	
T2093	55,5	5,0	—	—	—	55,8	5,2	—	—	—	
T2092	64,5	6,6	—	—	—	64,6	6,5	—	—	—	
T3656	—	—	8,0	10,2	—	—	—	8,0	10,1	—	
T3630	52,9	6,0	6,2	—	27,9	60,0	5,8	6,1	—	28,2	
T3626	56,9	5,5	12,3	—	—	57,0	5,6	12,4	—	—	
T3655	—	—	5,7	—	25,6	—	—	5,8	—	25,7	
T2244	71,2	7,4	—	—	—	71,3	7,2	—	—	—	Série Ic
T2245	64,5	7,0	7,2	9,1	—	64,5	6,9	7,1	9,0	—	
T2312	53,2	5,9	5,6	—	25,6	53,3	5,8	5,6	—	25,8	
T3654	—	—	7,2	9,1	—	—	—	7,2	9,0	—	
T2313	55,9	6,3	5,7	—	25,7	56,3	6,5	5,8	—	25,5	
T2243	74,5	7,7	—	—	—	74,8	7,9	—	—	—	
T3653	—	—	5,8	—	26,4	—	—	6,1	—	26,7	
T3629	56,9	5,5	12,3	—	—	57,0	5,5	12,5	—	—	
T2394	—	—	7,4	9,4	—	—	—	7,3	9,2	—	
T2314	66,2	7,5	7,7	9,8	—	65,9	7,4	7,8	9,9	—	

a) Benzophénone-oxime (2, $\text{Ar}_1 = \text{Ar}_2 = \text{C}_6\text{H}_5$)

Elle a été obtenue selon la technique décrite par A. Lachman,⁴ en partant de 50g de benzophénone et de 30g de chlorhydrate d'hydroxylamine, avec un rendement de 85%. F = 143-144°C (Litt.⁴ F = 141-142°C)

Suivant ce même procédé et en partant des benzophénones appropriées ont été obtenues:

La méthoxy-4 benzophénone-oxime (2, $\text{Ar}_1 = 3\text{-CH}_3\text{OC}_6\text{H}_4$, $\text{Ar}_2 = \text{C}_6\text{H}_5$), rdt. 92%, mélange de l'oxime-a ($F = 137\text{-}138^\circ\text{C}$) et de l'oxime-b ($F = 115\text{-}116^\circ\text{C}$)⁵ qui est employé tel quel pour l'étape suivante.

L'éthoxy-3 benzophénone-oxime (2, Ar₁ = 3-C₂H₅OC₆H₄, Ar₂ = C₆H₅) rdt. 97%, F = 90-92°C.

Analyse: Calc. % pour $C_{15}H_{15}NO_2$ C: 70,6 H: 5,9 N: 11,0
 Tr. % 70,3 5,7 10,7

b) *Benzhydrylamine* (3, Ar₁ = Ar₂ = C₆H₅)

Elle a été préparée par réduction de l'oxime correspondante, à l'aide de zinc en poudre et d'ammoniaque concentrée, suivant la technique décrite par R. Scholl⁶ avec un rendement de 42%. Chlorhydrate: F = 284-285°C (Litt.⁷ F = 290°C)

Selon ce même procédé et en partant des oximes appropriées, ont été obtenues:

La méthoxy-4 benzhydrylamine (3, $\text{Ar}_1 = 4\text{-CH}_3\text{OC}_6\text{H}_4$, $\text{Ar}_2 = \text{C}_6\text{H}_5$), rdt. 60-80%, $E_{\text{b},5} = 200\text{-}205^\circ\text{C}$. Chlorhydrate: F = 225-226°C (Litt.⁷ F = 229°C).

L'ethoxy-3 benzhydrylamine (3, $\text{Ar}_1 = 3\text{-C}_2\text{H}_5\text{OC}_6\text{H}_4$, $\text{Ar}_2 = \text{C}_6\text{H}_5$), rdt. 82%, $E_{\text{b},19} = 195\text{-}200^\circ\text{C}$. Picrate: F = 189-190°C.

Analyse: Calc. % pour $C_{12}H_{20}N_4O_8 \cdot 1/2 H_2O$ C: 54,2 H: 4,5 N: 12,0
 Tr. % 54,2 4,4 12,0

c) *N*-chloracétyle-benzhydrylamine (4, Ar₁ = Ar₂ = C₆H₅)

La chloracétylation de la benzhydrylamine a été réalisée selon G. Tsatsas et al.⁸ soit: 5,65 g de benzhydrylamine sont dissous dans 60ml de chloroforme et additionnés de 2,4 ml de chlorure de chloracétyle, ajoutés goutte à goutte, à chaud et sous agitation, en présence de 17,1g de carbonate de sodium cristallin en suspension dans la solution chloroformique. Après l'addition du réactif, l'agitation se poursuit pendant une heure encore, puis le mélange est débarrassé du carbonate de sodium par filtration et additionné d'acide chlorhydrique dilué. L'excès de l'amine qui n'a pas réagi, se sépare sous forme de chlorhydrate, insoluble dans le milieu de la réaction. Le chlorhydrate de benzhydrylamine ainsi précipité est essoré, lavé et transformé en amine-base, qui est de nouveau soumise à la chloracétylation, suivant ce qui précède. La couche chloroformique, dûment lavée, est évaporée à sec. Le résidu contient la N-chloracétyle-benzhydrylamine désirée, sous forme de solide. Rdt. 68,5%, F = 130°C (après recristallisation dans l'éthanol aqueux).

Suivant ce même procédé et en partant des benzhydrylamines appropriées, ont été obtenues:

La *N*-chloroacetyl-*m*-methoxy-4-benzhydrylamine (4, $\text{Ar}_1 = 4\text{-CH}_3\text{OC}_6\text{H}_4$, $\text{Ar}_2 = \text{C}_6\text{H}_5$), rdt. 33%, F = 117–118°C (après recristallisation dans l'éthanol).
 Analyse: Calc. % pour C: 66.3; H: 5.6; N: 4.8; Cl: 12.2

d) *N*-Diéthylaminoacétyle-benzhydrylamine (Ia, $R_1 = R_2 = C_2H_5$).

Le mélange de 7g de N-chloracétyle-benzhydrylamine (1 mole) et de 8,1 ml (3 moles) de diéthylamine, dans une petite quantité de benzène anhydre, est chauffé au reflux pendant 2 heures.

Le chlorhydrate de diéthylamine précipité est essoré et lavé au benzène anhydre. La solution benzénique, dûment lavée et séchée, est évaporée à sec. Le résidu contient l'amine désirée, sous forme de base huileuse, qui est aisément transformée en sel d'addition et/ou en sel d'ammonium quaternaire.

Tous les produits finaux, préparés comme il vient d'être décrit, figurent aux tableaux I et II avec leurs analyses et constantes.

Abstract

Derivés de la benzhydrylamine

The authors report the synthesis of N-aminoacetyl-benzhydrylamines, substituted at the amine nitrogen and with or without an alcoxy group as substituent on one of the phenyl groups. These products are prepared from suitable benzophenone oximes which are reduced to benzhydrylamines. These are then treated successively with chloroacetyl chloride and with different amines, leading to the desired final products of the general formula I.

Περίληψις

Σύνθεσις νέων παραγώγων της βενζυδούλαινης

Εἰς τὴν παροῦσαν ἔργασίαν παρασκευάζονται Ν-ἀμινοακετυλοβενζοδυλαμίναι, ύποκατεστημέναι ἐπὶ τῆς ἀμινομάδος καὶ φέρουσαι ἐνδεχομένως ἀλκοξύλιον ὡς ύποκαταστάτην ἐπὶ τοῦ ἐνὸς τῶν φαινυλίων. Τὰ ἐν λόγῳ παράγωγα λαμβάνονται ἐκ τῶν δέξιων τῶν καταλλήλων βενζοφαινονῶν, αἱ δόποιαι ἀνάγονται πρὸς τὰς ἀντιστοίχους βενζοδυλαμίνας. Αἱ τελευταῖαι αὗται, τῇ ἐπιδράσει χλωρακετυλοχλωριδίου καὶ ἀκολούθως διαφρόων ἀμινῶν, διηγοῦνται τὰ τελικὰ προϊόντα, τοῦ γενικοῦ τύπου (I). Τὸ φαρμακολογικὸν μέρος θὰ δημοσιευθῇ προσεχῶς.

Bibliographie

- 1 Rennie, E.H.: *J. Chem. Soc.* **41**, 220 (1882); Gardner, P.D.: *J. Amer. Chem. Soc.* **76**, 4550 (1954)
 - 2 Ullmann, F. et Goldberg, I.: *Ber.* **35**, 2814 (1902)
 - 3 Davis, W. et Rubenstein, L.: *J. Chem. Soc.* **123**, 2839 (1923)
 - 4 Lachman, A.: *Org. Synth. coll. Vol 2*, p. 70, Wiley, New York (1947)
 - 5 Hantzsch, A.: *Ber.* **24**, 51 (1891); Gardner, P.D.: *J. Amer. Chem Soc.* **76**, 4550 (1954)
 - 6 Scholl, R.: *Ber.* **60**, 1247 (1927)
 - 7 Kalamar, J. et Ryban, B.: *Chem. Zvesti* **20**, (1), 79 (1966)
 - 8 Tsatsas, G. et Guioco-Dedopoulou, B.: *Bull. Soc. Chim.* **298** (1961)